

# مطالعه‌ی پارامتریک عوامل مؤثر در ظرفیت بار بری ستون‌های بتنی مسلح شده با فولاد (SRC) تحت بار خارج از مرکز

محسن احمدی (دانشجوی دکتری)

مرتضی نقی بور<sup>\*</sup> (استاد)

دانشکده‌ی هندسی عمران، دانشگاه صنعتی نوشیروانی بافق

مهدی نعمت‌زاده (دانشیار)

دانشکده‌ی هندسی عمران، دانشگاه همازدرا، بافق

ستون‌های بتنی مسلح شده با فولاد (SRC) نوعی از ستون‌های مرکب هستند که به دلیل مزایای فراوانی که نسبت به ستون‌های بتن آرمه و ستون‌های فقط فولادی دارند، استفاده از آن‌ها رواج زیادی پیدا کرده است. در پژوهش حاضر، جهت بررسی برخی از عوامل مؤثر در ظرفیت بار بری ستون‌های بتنی مسلح شده با فولاد (SRC) تحت بار خارج از مرکز یک مطالعه‌ی عددی با نرم‌افزار آباکوس انجام و مدل المان محدود ایجاد شده و با نتایج آزمایشگاهی اعتبارسنجی شده است. در مجموع ۳۹ ستون برای مطالعه‌ی پارامتریک تحلیل شدند که متغیرهای هندسی و مصالح از قبیل: درصد فولاد، نسبت لاغری ستون، نسبت خروج از مرکزیت نیرو، مقاومت فشاری بتن و فاصله‌ی میلگردی‌های عرضی در ظرفیت بار بری ستون‌ها بررسی شدند و براساس مقادیر محاسبه شده، نمودارهای نیرو- تعییرمکان محوری، نیرو- تعییرمکان جانبی، نیرو- لنگرخمشی ترسیم شدند، به طوری که با ارزیابی درصد فولاد و کاهش فاصله بین میلگردی‌های عرضی، شاخص شکل پذیری افزایش یافته است، اما با کاهش فاصله بین میلگردی‌های عرضی، ظرفیت بار بری ستون به صورت جزئی افزایش یافته است.

macivil2009@yahoo.com  
m-naghi@nit.ac.ir  
m.nematzadeh@umz.ac.ir

واژگان کلیدی: ستون مرکب، SRC، ظرفیت بار بری، بار خارج از مرکز

## ۱. مقدمه

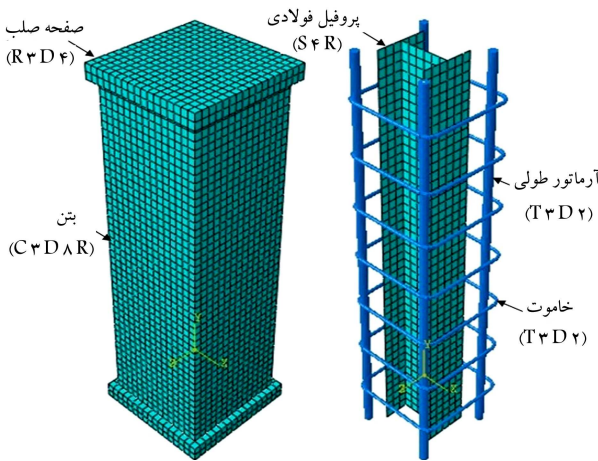
مطالعات گسترده‌یی بر روی ستون‌های مرکب صورت پذیرفته است. به عنوان نمونه، می‌توان به تحقیقات چن و همکاران (۵۰۰۲)، اشاره کرد.<sup>[۱]</sup> ایشان یک مدل تحلیلی برای پیش‌بینی ظرفیت محوری ستون‌های مرکب SRC<sup>۱</sup> که هسته‌ی فولادی آن‌ها در شکل‌های متفاوتی است، ارائه دادند. در مدل تحلیلی مذکور، برای آرماتورهای طولی و مقطع فولادی رفتارنش-کرنش جداگانه‌یی در نظر گرفته شد. در مدل سازی عددی انجام شده توسط نرم‌افزار آباکوس<sup>۲</sup>، از رابطه‌های ماندر<sup>۳</sup>،<sup>[۱]</sup> برای لحاظ کردن اثر محصورشدنگی استفاده شد و دریافتند که اعمال اثر محصورشدنگی، باعث افزایش ظرفیت بار بری ستون مرکب می‌شود، که شکل مقطع فولادی و نحوه قرارگیری آرماتورها در آن مؤثر است. همچنین نتایج نشان داد که چنانچه مقطع I شکل کوتاه‌تر باشد، اثر محصورشدنگی آن بیشتر است. با بررسی ستون‌های کوتاه SRC توسط ژاؤ و همکاران (۲۰۱۰)،<sup>[۱]</sup> آزمایش بر روی ۸ نمونه که در معرض بار فشاری و بار جانبی رفت و برگشتی قرار داشتند، انجام شد که ۳ نمونه‌ی آن پروفیل دایره‌یی SRC و ۳ نمونه‌ی آن، پروفیل فولادی قوطی SRC و ۲ نمونه‌ی ستون SRC مشترک به جهت مقایسه بودند. نتایج آزمایش‌ها نشان داد که مقاومت برشی، ظرفیت

ستون‌های مرکب از لحاظ محل قرارگیری بتن و فولاد به دو گروه کلی تقسیم‌بندی می‌شوند: ۱. جدار فولادی پُرشده با بتن، ستون‌هایی هستند که هر دو مزایای فولاد و بتن را دارند. ستون‌های مرکب، شامل مقطع فولادی توخالی دایره، مستطیل و یا چندضلعی هستند که با بتن پُر می‌شوند و ۲. مقطع فولادی مدفون در بتن که در آن‌ها، مقطع فولادی توسط بتن مسلح محصور شده است. به عبارت دیگر، مقطع ذکر شده شامل مقطع فولادی نورد شده یا مرکب است، که در داخل بتن مسلح مدفون شده است.

استفاده از ستون‌های مرکب به دلیل مزایای فراوان سازه‌یی و اقتصادی که نسبت به حالت ستون‌های بتن آرمه و یا فقط فولادی دارند و همچنین نیاز مداوم به بهینه‌سازی مصالح و کاهش ابعاد و اندازه‌یی موردنیاز در سیستم‌های سازه‌یی خصوصاً در ساختمان‌های بلند، رواج زیادی پیدا کرده است. در سال‌های اخیر

\* نویسنده مسئول  
تاریخ: دریافت ۲۰/۱/۱۳۹۸، اصلاحیه ۲۲/۵/۱۳۹۸، پذیرش ۳/۶/۱۳۹۸.

DOI:10.24200/J30.2019.52836.2510



شکل ۱. مدل اجزاء محدود نمونه‌ها.

میان صفحه‌ی خود استفاده می‌کند. بتن با استفاده از المان C<sup>3</sup>D<sup>8</sup>R که یک المان محیط پیوسته‌ی سه‌بعدی شامل ۸ گره انتگرالی کاهش یافته با سه درجه آزادی انتقالی در هر گره است، مدل سازی صورت گرفته و برای میلگرد های طولی و عرضی از المان سه‌بعدی دو گرده ای T<sup>3</sup>D<sup>2</sup> استفاده شده است. برای اطمینان از چسبندگی کافی بین بتن و آرماتورها و پروفیل فولادی، بخش‌های فولادی ستون به عنوان بخش مدفون شده در بلوك بتی تعریف شدند. همچنین در قسمت فوقانی و تحتانی نمونه، دو صفحه‌ی صلب فولادی قرار داده شدند که توسط المان R<sup>3</sup>D<sup>4</sup> تعريف و بر روی سطح بتن به روش چسب<sup>۴</sup> متصل شدند و بر روی آن یک نقطه‌ی مرجع معروفی شده است که فاصله‌ی آن تا مرکز ستون بیانگر مقدار برون محوری بر اعمالی است که شرایط مزدی مفصلی در قسمت تحتانی بر روی نقطه‌ی مرجع با مقید کردن درجه‌های آزادی انتقالی در ۳ راستا اعمال شده است. یک آنالیز حساسیت بر روی مدل المان محدود به منظور بهینه‌سازی اندازه‌ی مش در راستای کسب رفتار دقیق ستون SRC با کمترین زمان تحلیل صورت گرفت که المان‌های اختصاصی‌یافته برای مصالح و فرم کلی مدل عددی در شکل ۱ مشاهده می‌شود. مدل خسارت خمیری برای مصالح بتن استفاده شد که دو اصل اساسی ترک خوردگی کششی و خردشگی فشاری را در مکانیزم گسیختگی در نظر می‌گیرد. همچنین E<sub>C</sub> = ۴۷۳۰  $\sqrt{f'}$  mm<sup>۳</sup> بر طبق دستورالعمل ACI<sup>۳۱۸-۱۱</sup><sup>[۸]</sup>, R<sub>c</sub> = ۷۰<sup>۰</sup> در آن f' مقاومت فشاری نمونه استوانه‌ی برشی بر حسب مگاپاسکال است. از ورق‌های فولادی با تنش تسلیم ۳۵۰ مگاپاسکال استفاده شده و مدول کشسانی و کرنش تسلیم به ترتیب برابر با ۲۰۰ مگاپاسکال و ۱۷۵۰ ره<sup>۰</sup> بوده است. تنش نهایی ورق‌های فولادی برابر با ۴۵۰ مگاپاسکال و کرنش متناظر با آن تقریباً ۱۰۵ برابر کرنش تسلیم ۱۷۵۰ ره<sup>۰</sup> است. از مدل رفتاری سه‌خطی برای شبیه‌سازی رفتار فولاد در برنامه‌ی المان محدود آباکوس استفاده شده است. همچنین نسبت پواسون فولاد برابر با ۰/۳ لحاظ شده است. برای تعریف منحنی تنش - کرنش بتن فشاری برای تحلیل‌های المان محدود آباکوس استفاده شده است. همچنین شده‌ی لی و بار<sup>[۹]</sup> استفاده شده است. ایشان از یک مدل رفتار ساده با استفاده از یک تابع پیوسته که از جمع دو تابع نمایی تشکیل می‌شود، مطابق رابطه‌ی ۱ استفاده کرده‌اند:

$$f_c(x) = C_1 \left( e^{-C_2 x} - e^{-C_3 x} \right) \quad (1)$$

که در آن، C<sub>۱</sub> و C<sub>۲</sub> ثابت‌های کنترل شکل منحنی تنش - کرنش هستند و از

تغییرشکل خمیری و شاخص شکل‌پذیری ستون‌های دایره‌ی بسیار بزرگ‌تر از دیگر ستون‌ها در یک نسبت فولاد و بار فشاری است. مطالعه‌ی نیز به صورت آزمایشگاهی توسط سولیمان و همکاران (۲۰۱۳)<sup>[۱]</sup> به جهت بررسی روش‌های کوتاه SRC انجام و وضعیت موجود مقررات طراحی آینین نامه‌های ECP-SC-LRFD-۲۰۰۷، ECP-SC-LRFD-۲۰۰۲، BS-ACI-۳۱۸-۲۰۰۸ و AISC-LRFD-۲۰۱۰ نمونه‌ی آزمایشگاهی به جهت مطالعه‌ی اثر محصورشدنگی بتن و انواع مختلف مقاطع فولادی مطالعه و مقادیر اندازه‌گیری شده با مقادیر محاسبه شده توسط آینین نامه‌ها مقایسه شدند، که در بین آینین نامه‌های مورد استفاده ECP-SC-LRFD-۲۰۱۲ نیز عملکرد خمیری نتایج محافظه‌کارانه‌تری شده است. هان و همکاران (۲۰۱۴)<sup>[۵]</sup> نیز عملکرد خمیری مقاطع SRC را بررسی کردند. یک مدل اجزاء محدود برای بررسی رفتار خمیری توسط نرم‌افزار آباکوس ایجاد شد که با داده‌های آزمایشگاهی مطابقت داده شد. با بررسی به عمل امده ملاحظه شد که لوله‌ی فولادی به کار رفته در مقطع SRC بدون اینکه دچار کمایش موضعی شود، می‌تواند به مقاومت خمیری کامل خود برسد و درنهایت یک رابطه برای محاسبه‌ی ظرفیت خمیری مقاطع SRC ارائه شده است. پژوهشگران مذکور همچنین (۲۰۱۵)<sup>[۶]</sup> مقاطع جعبه‌ی SRC را تحت خمیری بحث و بررسی کردند. ۸ نمونه‌ی آزمایشگاهی، شامل ۶ نمونه مقاطع جعبه‌ی SRC و ۲ نمونه بتن مسلح را آزمایش و با مدل اجزاء محدود به کمک نرم‌افزار آباکوس مقایسه کردند. تأثیر تغییرات در قطر لوله‌های فولادی و همچنین ارتفاع مقاطع در رفتار مقاطع جعبه‌ی SRC مطالعه شد. مدهای شکست و رفتار مقاطع مركب با مقاطع جعبه‌ی بتن مسلح مقایسه شدند و برای مقاطع مركب دو نوع مد شکست خمیری - برشی برای مقاطع با ارتفاع ۱۲۶۰ mm و شکست خمیری برای مقاطع با ارتفاع ۸۴۰ mm مشاهده شد. ایشان (۲۰۱۵)<sup>[۷]</sup> در مطالعه‌ی دیگری نیز به کمک مدل سازی به روش اجزاء محدود توسط نرم‌افزار آباکوس مقاطع جعبه‌ی SRC را تحت بار فشاری مطالعه کردند. پژوهش مذکور به دليل افزایش دقت در محاسبات، بتن مقطع به ۴ ناحیه تقسیم شد: بتن خارجی غیرمحبوس ببرون خاموت، بتن خارجی در جان دیوارها، بتن خارجی محبوس در گوشها و هسته‌ی بتی در لوله‌های فولادی. نتایج نشان دهنده‌ی تطابق مناسبی بین مقادیر پیش‌بینی شده و مقادیر اندازه‌گیری شده از آزمایش‌های قبلی بوده است. همچنین تأثیر لاغری جان دیوار، مقاومت بتن و فولاد، نسبت فولاد، میلگرد طولی و فواصل خاموت‌ها در محاسبه‌ی بار نهایی مقاطع بررسی شده است. با توجه به مطالعات صورت گرفته تاکنون، می‌توان ظرفیت باربری ستون‌های فولادی مدفون در بتن مسلح SRC را متأثر از عوامل متعددی دانست. به همین منظور در پژوهش حاضر، یک مطالعه‌ی پارامتریک توسط نرم‌افزار آباکوس بر روی ۳۹ ستون مركب SRC انجام شده و متغیرهای هندسی شامل: درصد فولاد H شکل، لاغری ستون، میزان خروج از مرکزیت نیرو و فاصله‌ی بین خاموت‌ها و متغیرهای مصالح شامل: مقاومت فشاری ستون و رده‌ی فولاد در نظر گرفته شده و تأثیر هر کدام از عوامل اخیر در ستون‌های مركب بررسی شده است. همچنین شاخص شکل‌پذیری و عوامل مؤثر در شکل‌پذیری ستون‌های مركب بحث و بررسی شده است.

## ۲. مدل اجزاء محدود

مدل اجزاء محدود توسط نرم‌افزار آباکوس صورت پذیرفته است. در مدل اجزاء محدود، مقاطع پروفیل فولادی با استفاده از المان پیوسته‌ی S<sup>4</sup>R که هر گره سه درجه آزادی دورانی و سه درجه آزادی انتقالی دارد و از یک نقطه‌ی انتگرالی روی

طریق روابط ۲ الی ۴ تعیین می‌شوند:

$$x_{\max} = \frac{1}{C_1 - C_1} \ln \left( \frac{C_1}{C_1} \right) \quad (2)$$

$$C_1 = \frac{f_{\max}}{\left( \alpha^{\frac{1}{1-\alpha}} - \alpha^{\frac{\alpha}{1-\alpha}} \right)} \quad (3)$$

$$C_1 = \frac{\ln \alpha}{x_{\max} (\alpha - 1)} \quad (4)$$

که در آن‌ها،  $f_{\max}$  مقاومت فشاری تک محوره،  $x_{\max}$  کرنش در بارنهای و  $\alpha$  است که از طریق مجموعه روابط ۵ محاسبه می‌شود:

$$\begin{cases} \left( \frac{x_{\max}}{x_{\cdot, f_{\max}}} \right) \leq 0,000572 \Rightarrow \alpha = 10^4 \\ 0,000572 < \left( \frac{x_{\max}}{x_{\cdot, f_{\max}}} \right) \leq 0,026 \Rightarrow \alpha = 1,67 \left( \frac{x_{\max}}{x_{\cdot, f_{\max}}} \right)^{-1/17} \\ 0,026 < \left( \frac{x_{\max}}{x_{\cdot, f_{\max}}} \right) \leq 0,262 \Rightarrow \alpha = \sum_{i=0}^r \chi_i \left( \frac{x_{\max}}{x_{\cdot, f_{\max}}} \right)^i \\ \left( \frac{x_{\max}}{x_{\cdot, f_{\max}}} \right) \geq 0,262 \Rightarrow \alpha = 1,0001 \end{cases} \quad (5)$$

که در آن‌ها،  $f_{\cdot, f_{\max}}$  کرنش متناظر با مقدار ۲۰٪ تنش فشاری تک محوری در تاچیه‌ی پس از بار بیشینه است. رابطه‌ی تنش - کرنش پیشنهادی توسط شن و همکاران (۱۹۹۳)،<sup>[۱۰]</sup> برای شبیه‌سازی رفتار بتن در کشش مطابق رابطه‌ی ۶ است:

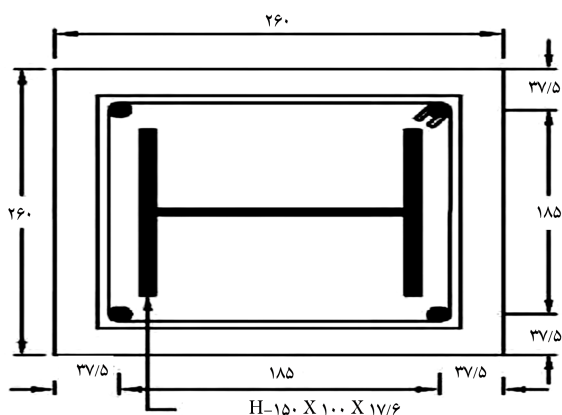
$$\frac{\sigma_t}{\sigma_{t_0}} = \frac{\varepsilon_t / \varepsilon_{t_0}}{0,31 \sigma_{t_0}^2 [(\varepsilon_t / \varepsilon_{t_0}) - 1]^{1/7} + \varepsilon_t / \varepsilon_{t_0}} \quad (6)$$

که در آن،  $\sigma_t / E_C = \sigma_{t_0}$  مقاومت تک خودگی کششی  $\sigma_{t_0}$  توسط رابطه‌ی  $\sigma_{t_0} = 1/4 (f_c^{\prime}/10)^{0.67}$  محاسبه می‌شود که در آن  $f_c^{\prime} = 4730 \sqrt{f_c}$  و  $E_c = 20000 \sqrt{f_c}$  مقاومت فشاری نمونه‌ی استوانه‌ی بر حسب مگاپاسکال است.

### ۳. تأیید مدل اجزاء محدود

یک مطالعه‌ی مقایسه‌ی به منظور اعتبارسنجی نتایج عددی با نتایج آزمایشگاهی انجام شده است. نتایج عددی از تحلیل المان محدود با استفاده از برنامه‌ی آباکوس انجام شده است که شبیه‌سازی‌های عددی براساس مقایسه‌ی نتایج با مدل‌های آزمایشگاهی انجام گرفته توسط کیم و همکاران (۲۰۱۲)،<sup>[۱۱]</sup> انجام شده است. ایشان مطالعات آزمایشگاهی و عددی را بر روی ستون‌های فولادی کاملاً مدفون در بتن با استفاده از فولاد پر مقاومت با تنش‌های تسلیم ۹۱۳ و ۹۱۳ مگاپاسکال و بتن ۹۱۳ میلی‌متر است. نتایج عددی و آزمایشگاهی دو ستون SRC مطابق با مطالعه‌ی صورت گرفته‌ی کیم و همکاران،<sup>[۱۱]</sup> با فولاد پر مقاومت ۹۱۳ مگاپاسکال و بتن ۹۱۳ مگاپاسکال در جدول ۱ ارائه شده است. این دو ستون تحت بار با دو نسبت خروج از محوریت متفاوت حول محوری قوی پروفیل فولادی قرار داده شدند.

هندسه‌ی مقطع ستون‌های اشاره شده، مشابه یکدیگر و به شکل مریع به بعد ۲۶۰ میلی‌متر است. نسبت فولاد و نسبت‌های میلگرد طولی به ترتیب برابر با ۸/۲ و ۱/۱ هستند. میلگردهای عرضی به قطر ۱۵ میلی‌متر به فاصله‌ی ۵۰ میلی‌متر از یکدیگر قرار گرفتند. نسبت‌های نیروی بیشینه‌ی عددی به آزمایشگاهی بین ۱۰/۸ تا ۱/۱۱ متغیر بوده است. به طور میانگین، ظرفیت‌های به دست آمده از نتایج المان محدود برای ستون‌های با خروج از محوریت پر مقاومت به میزان ۱۰٪ بیشتر از ظرفیت‌های به دست آمده از نمونه‌های آزمایشگاهی بوده است که احتمالاً به دلیل اختلاف مقاومت بتن ستون و بتن نمونه‌ی استوانه‌ی است. هیچ ضربی کاهش مقاومتی در شبیه‌سازی مصالح بتنی در ستون‌های SRC لاحظ نشده است. علاوه بر این، لغزش احتمالی میان پروفیل فولادی و بتن و همچنین ناکاملی هندسی به



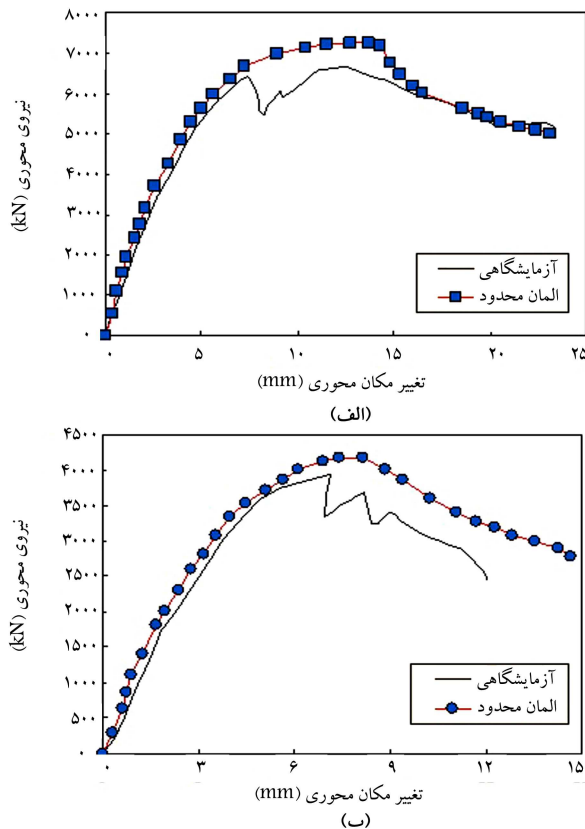
شکل ۲. مقطع ستون‌ها به همراه میلگردهای طولی، عرضی و پروفیل فولادی در مطالعه‌ی کیم و همکاران [۱۱].<sup>[۱۲]</sup>

هر دو نمونه از بتن با مقاومت ۹۱ مگاپاسکال و فولاد با تنش تسلیم ۹۱۳ مگاپاسکال و تنش نهایی ۹۸۸ مگاپاسکال تشکیل شدند. کرنش گسیختگی فولاد برابر با ۷٪ تعیین شد. مقاومت تسلیم تمام میلگردهای طولی و عرضی برابر با ۵۲۵ مگاپاسکال بوده است. ستون‌های مذکور تحت بار محوری با خروج از محوریت حول محور قوی مقطع فولادی قرار گرفتند. نسبت برون محوری نیرو نسبت به مرکز مقطع در ستون C1 برابر با ۴٪ و در ستون C2 برابر با ۲۳٪ بوده است. جزئیات برپایی سیستم آزمایشگاهی در مطالعه‌ی کیم و همکاران (۲۰۱۲)<sup>[۱۳]</sup> در شکل ۳ مشاهده می‌شود. پس از تحلیل نمونه‌های عددی دو مدل C1 و C2 مشخص شد که شاخه‌ی صعودی منحنی نیرو - تغییرمکان مدل عددی با منحنی نمونه‌ی آزمایشگاهی تطبیق قابل قبولی دارد. ناحیه‌ی بیشینه‌ی منحنی از نتایج آزمایشگاهی، مقداری نوسان‌های ناشی از ترک خودگی بتن دروجه کششی و قلوهکن شدن پوشش بتقی دروجه فشاری و خردشگی آن را نشان می‌دهد. رفتار پس از بار بیشینه‌ی منحنی نیرو - تغییرمکان طولی مدل المان محدود با منحنی آزمایشگاهی در نمونه‌ی C1 تطبیق خوبی دارد. برای ستون C2، شاخه‌ی نزولی منحنی نیرو - تغییرمکان مدل المان محدود کمی متفاوت با منحنی نیرو - تغییرمکان آزمایشگاهی است. این امر را می‌توان به دلیل وجود ناکاملی و نقص در نمونه‌ی آزمایشگاهی یافت که در نمونه‌ی عددی لحاظ نشده است. مقایسه‌های صورت گرفته در شکل ۴ مشاهده می‌شود. مقادیر بار بیشینه‌ی عددی و آزمایشگاهی دو ستون SRC مطابق با مطالعه‌ی صورت گرفته‌ی کیم و همکاران،<sup>[۱۱]</sup> با فولاد پر مقاومت ۹۱۳ مگاپاسکال و بتن ۹۱۳ مگاپاسکال در جدول ۱ ارائه شده است. این دو ستون تحت بار با دو نسبت خروج از محوریت متفاوت حول محوری قوی پروفیل فولادی قرار داده شدند.

هندسه‌ی مقطع ستون‌های اشاره شده، مشابه یکدیگر و به شکل مریع به بعد ۲۶۰ میلی‌متر است. نسبت فولاد و نسبت‌های میلگرد طولی به ترتیب برابر با ۸/۲ و ۱/۱ هستند. میلگردهای عرضی به قطر ۱۵ میلی‌متر به فاصله‌ی ۵۰ میلی‌متر از یکدیگر قرار گرفتند. نسبت‌های نیروی بیشینه‌ی عددی به آزمایشگاهی بین ۱۰/۸ تا ۱/۱۱ متغیر بوده است. به طور میانگین، ظرفیت‌های به دست آمده از نتایج المان محدود برای ستون‌های با خروج از محوریت پر مقاومت به میزان ۱۰٪ بیشتر از ظرفیت‌های به دست آمده از نمونه‌های آزمایشگاهی بوده است که احتمالاً به دلیل اختلاف مقاومت بتن ستون و بتن نمونه‌ی استوانه‌ی است. هیچ ضربی کاهش مقاومتی در شبیه‌سازی مصالح بتنی در ستون‌های SRC لاحظ نشده است. علاوه بر این، لغزش احتمالی میان پروفیل فولادی و بتن و همچنین ناکاملی هندسی به

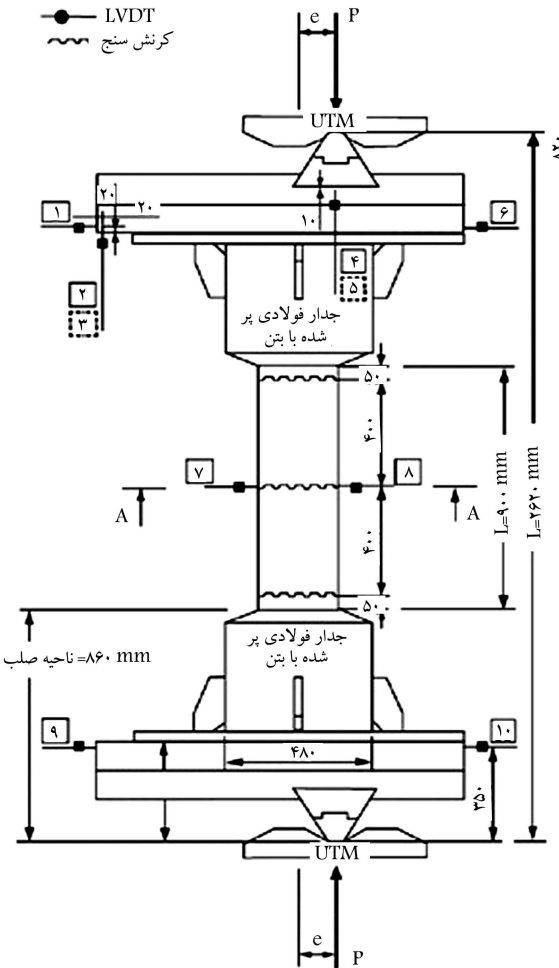
جدول ۱. مقایسه‌ی بین نتایج عددی و آزمایشگاهی ستون‌های مرکب کیم و همکاران [۱۱].

$\frac{\varepsilon_{num}}{\varepsilon_{exp}}$	کرنش محوری در بار بیشینه	$P_{num}$	$P_{exp}$	نیرو (kN)	موقعیت نیرو ex	نام نمونه
$\varepsilon_{exp}$	$\varepsilon_{num}$	$\varepsilon_{exp}$	$P_{exp}$	$P_{exp}$	(mm)	
۱,۰۰۶	۴۵۸۰	۴۵۵۳	۱,۱۱۲	۲۴۴۹	۲۲۰۳	۱۲۰ C۱
۱,۱۴۶	۲۸۷۴	۲۵۰۸	۱,۱۰۵	۴۱۴۷	۳۷۵۲	۶۰ C۲
۱,۰۴۶	میانگین انحراف معیار	۱,۱۰۱				میانگین انحراف معیار
۰,۱۵۳			۱,۰۱۲			



شکل ۴. مقایسه‌ی رفتار نیرو - تغییر مکان.

مطالعات پارامتریک مختلف با تغییر در مشخصات هندسی و مصالح برای درک بهتر رفتار ستون‌های مرکب فولادی مذکون در بتن انجام شده است. برای انجام مطالعه‌ی پارامتریک، یک ستون مربع با بعد خارجی ۵۰۰ میلی‌متر انتخاب شد که سطح مقطع آن در شکل ۵ مشاهده می‌شود که فواصل خاموت‌ها برابر ۲۵۰ میلی‌متر در نظر گرفته شده است و با توجه به اینکه هدف پژوهش حاضر بررسی ضوابط آئینه نامه نیست، لذا این مطلب به عنوان محدودیت پژوهش حاضر تلقی می‌شود. این بعد از ستون، یک اندازه‌ی معمولی برای ستون‌های مرکب و مناسب برای ساختمان‌های میان‌مرتبه است. ستون در نظر گرفته شده در طول مطالعه‌ی پارامتریک به همراه تأثیر پارامترهای هندسی و مصالح مختلف تحلیل و طراحی شد که می‌تواند تأثیر به سازی در رفتار ستون مرکب SRC بگذارد. در مجموع، ۳۹ ستون مرکب SRC برای مطالعه‌ی پارامتریک تحلیل شده‌اند که متغیرهای هندسی آن‌ها، شامل: درصد فولاد H شکل، لاغری ستون، میزان خروج از محوریت نیرو و فاصله‌ی بین خاموت‌ها بوده است. همچنین مقاومت فشاری بتن و رده‌ی فولاد در ستون‌ها از جمله‌ی متغیرهای مصالح بودند.



شکل ۳. جزئیات آزمایش در مطالعه‌ی کیم و همکاران [۱۱].

وجود آمده در جن اجرای نمونه‌ها نیز در شبیه‌سازی ستون‌های مذکور در نظر گرفته نشده است. با مراجعه به جدول ۱، مقدار میانگین نسبت کرنش محوری عددی به آزمایشگاهی متناظر در بار بیشینه برابر با ۱,۰۴۶ و انحراف استاندارد آن برابر با ۰,۱۵۳ بوده است که این اختلاف در کرنش محوری می‌تواند ناشی از فرضیات صورت گرفته در رفتار مصالح در شبیه‌سازی‌های عددی باشد.

#### ۴. مطالعه‌ی پارامتریک

پس از اطمینان از عملکرد صحیح مدل عددی از نظر مدل رفتاری مصالح، رفتار صحیح اندرکنش بین بخش‌های مختلف عضو و اعمال شرایط مرزی و بارگذاری،

جدول ۲. مشخصات ستون‌ها برای بررسی تأثیر نسبت درصد فولاد.

$A_r$	$A_s$	مقاومت بتن (%)	پروفیل فولادی (MPa)	پروفیل فولادی (mm)	$S/D$	$L/D$	طول (mm)	مقطع (mm)	نمونه	گروه
۰,۶	۱	۳۰	۱۰۰ × ۱۰۰ × ۷ × ۹	۰,۵	۶	۳۰۰۰	۵۰۰	SN۱	گروه ۱	
۰,۶	۵	۳۰	۳۰۰ × ۳۰۰ × ۱۳ × ۱۵	۰,۵	۶	۳۰۰۰	۵۰۰	SN۲		
۰,۶	۱۰	۳۰	۳۰۰ × ۳۰۰ × ۲۶ × ۲۸	۰,۵	۶	۳۰۰۰	۵۰۰	SN۳		
۰,۶	۱۵	۳۰	۳۰۰ × ۳۰۰ × ۴۰ × ۴۲	۰,۵	۶	۳۰۰۰	۵۰۰	SN۴		
۰,۶	۲۰	۳۰	۳۰۰ × ۳۰۰ × ۵۴ × ۵۶	۰,۵	۶	۳۰۰۰	۵۰۰	SN۵		
۰,۶	۱	۶۰	۱۰۰ × ۱۰۰ × ۷ × ۹	۰,۵	۶	۳۰۰۰	۵۰۰	SM۶	گروه ۲	
۰,۶	۵	۶۰	۳۰۰ × ۳۰۰ × ۱۳ × ۱۵	۰,۵	۶	۳۰۰۰	۵۰۰	SM۷		
۰,۶	۱۰	۶۰	۳۰۰ × ۳۰۰ × ۲۶ × ۲۸	۰,۵	۶	۳۰۰۰	۵۰۰	SM۸		
۰,۶	۱۵	۶۰	۳۰۰ × ۳۰۰ × ۴۰ × ۴۳	۰,۵	۶	۳۰۰۰	۵۰۰	SM۹		
۰,۶	۲۰	۶۰	۳۰۰ × ۳۰۰ × ۵۴ × ۵۶	۰,۵	۶	۳۰۰۰	۵۰۰	SM۱۰		
۰,۶	۱	۱۲۰	۱۰۰ × ۱۰۰ × ۷ × ۹	۰,۵	۶	۳۰۰۰	۵۰۰	SH۱۱	گروه ۳	
۰,۶	۵	۱۲۰	۳۰۰ × ۳۰۰ × ۱۳ × ۱۵	۰,۵	۶	۳۰۰۰	۵۰۰	SH۱۲		
۰,۶	۱۰	۱۲۰	۳۰۰ × ۳۰۰ × ۲۶ × ۲۸	۰,۵	۶	۳۰۰۰	۵۰۰	SH۱۳		
۰,۶	۱۵	۱۲۰	۳۰۰ × ۳۰۰ × ۴۰ × ۴۲	۰,۵	۶	۳۰۰۰	۵۰۰	SH۱۴		
۰,۶	۲۰	۱۲۰	۳۰۰ × ۳۰۰ × ۵۴ × ۵۶	۰,۵	۶	۳۰۰۰	۵۰۰	SH۱۵		

درصد فولاد، سختی و ظرفیت نهایی ستون افزایش یافته است. مقاومت باقیمانده پس از تسلیم و شکل‌پذیری هر سه گروه از ستون‌های مذکور نیز با افزایش در نسبت فولاد به صورت چشم‌گیری افزایش یافته است.

#### ۴.۱.۴. ظرفیت محوری ستون‌های مرکب

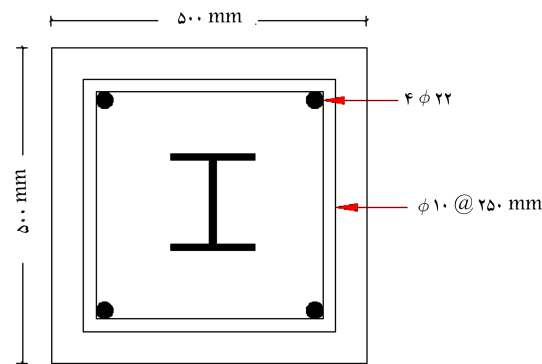
در جدول ۳، ظرفیت محوری ستون‌ها در سه گروه ۱، ۲ و ۳ ارائه و ظرفیت آن‌ها با مقادیر محاسبه شده‌ی تئوریک در آیینه‌نامه‌ی AISC [۱۱] مقایسه شده است. ظرفیت‌های تئوریک ستون‌های مذکور به طور میانگین ۱۵٪ کمتر از ظرفیت‌های به دست آمده از تحلیل عددی به دست آمده‌اند که به دلیل اعمال ضربی کاهش مقاومت ۸۵٪ بر مقاومت فشاری نمونه‌ی استوانه‌ی بن است (رابطه‌ی ۷):

$$P_r = 0,85 f'_c A_c + A_s F_y + A_{sr} F_{ysr} \quad (7)$$

که در آن،  $A_c$  سطح مقطع بتن،  $A_s$  و  $F_y$  مساحت و تنش تسلیم در پروفیل فولادی،  $A_{sr}$  و  $F_{ysr}$  مساحت و تنش تسلیم در آرماتورهای طولی است. در شکل ۷، مقایسه‌ی تغییرات ظرفیت باربری ستون برای سه نوع بتن با مقاومت فشاری مختلف به ازاء درصد فولاد یکسان برای هر سه نوع بتن با ملاحظه می‌شود که دامنه‌ی تغییرات فولاد تا ۲۰ درصد بوده است. افزایش در ظرفیت محوری برای بتن با مقاومت معمولی، بیشتر از نمونه با بتن با مقاومت بالا و خیلی بالا بوده است؛ یا به عبارت دیگر، با افزایش درصد فولاد، نزدیک ظرفیت باربری ستون‌هایی که از بتن با مقاومت بالا ساخته شده‌اند، کاهش یافته و مزیت استفاده از درصد‌های بیشتر نسبت فولاد برای ستون‌های مذکور بی اثر شده است.

#### ۴.۱.۵. شاخص شکل‌پذیری برای ستون‌های مرکب

درصد بالای فولاد معمولاً موجب افزایش شکل‌پذیری<sup>۵</sup> ستون‌های مرکب می‌شود. شاخص شکل‌پذیری ( $\mu$ ) در واقع نسبت تغییرمکان در نقطه‌ی نظری ۷۰٪ با بیشینه در شاخه‌ی نزولی منحنی به بیشینه تغییرمکان در بار بیشینه است. شاخص



شکل ۵. مقطع ستون مورد مطالعه در مطالعات پارامتریک.

#### ۴.۱.۶. درصد فولاد

وجود مقدار زیادی از هسته‌ی فولادی، سبب بهبود شکل‌پذیری ستون می‌شود. پنج درصد مختلف از فولاد (۱۱، ۱۵، ۱۰، ۵ و ۲۰ درصد) در مطالعه‌ی پارامتریک با بتون معمولی، متواسط، و پر مقاومت استفاده شده‌اند. ستون‌های مذکور به سه گروه متناسب با نوع بتون تقسیم شده‌اند و نسبت لاغری ۶ و فاصله‌ی بین میلگرد‌های عرضی در آن‌ها در تمام موارد، ثابت نگه داشته شد. نیرو در ستون‌های اشاره شده به صورت هم محور اعمال شده است. نمونه‌ها مطابق جدول ۲ در نظر گرفته شدند، که در آن،  $L$  طول نمونه،  $D$  ضلع مقطع ستون،  $S$  فاصله‌ی خاموت‌ها،  $A_S$  درصد فولاد مقطع و  $A_r$  درصد میلگرد‌های طولی مقطع هستند.

#### ۴.۱.۷. پاسخ نیرو - تغییرمکان محوری

در شکل ۶، تأثیر درصد‌های مختلف فولاد مقطع در رفتار نیرو - تغییرمکان محوری سه گروه از نمونه‌ها مشاهده می‌شود. براساس شکل ۶ مشخص است که با افزایش

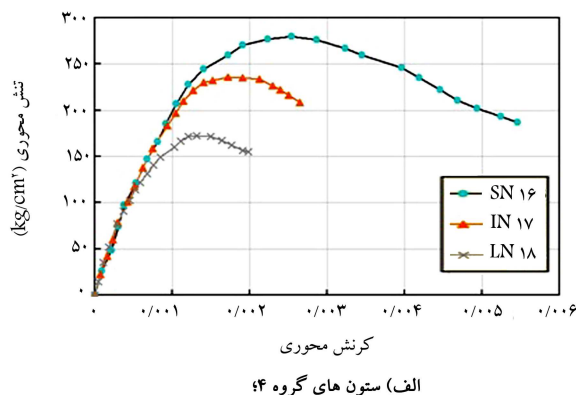
شکل پذیری ستون‌های مذکور تعیین و در جدول ۳ ارائه شده‌اند. از تحلیل عددی مشاهده می‌شود که ستون‌های SN<sub>4</sub> و SN<sub>5</sub> از گروه ۱ نمی‌توانستند به ۷۰٪ ظرفیت نهایی بعد از تسlijm به دلیل ناپایداری عددی برسند. دو ستون SN<sub>4</sub> و SN<sub>5</sub> با درصد زیادی از فولاد (۱۵٪ و ۲۰٪) با بتن با مقاومت کم ۳۰ مگاپاسکال ساخته و شبیه‌سازی شدند. ساختن شکل پذیری ستون‌های SN<sub>1</sub>، SN<sub>2</sub> و SN<sub>3</sub> از گروه ۱ با افزایش درصد فولاد بیشتر شده است. ستون SN<sub>3</sub> نسبت به باقی ستون‌های گروه ۱ شکل پذیرتر شاند از داده است. ساختن شکل پذیری برای گروه‌های ۲ و ۳ نیز در جدول ۳ ارائه شده است. همان‌طور که مشاهده می‌شود، ساختن شکل پذیری با افزایش درصد فولاد در ستون مرکب نیز بیشتر شده است. علاوه بر این، ملاحظه شد که ستون‌های گروه ۲، شکل پذیری بالاتری نسبت به ستون‌های گروه ۳ دارند، چراکه مقاومت بتن در ستون‌های گروه ۳ بیشتر است، که به نوبه‌ی خود موجب کاهش شکل پذیری شده است.

#### ۲.۴. تأثیر نسبت لاغری کلی ستون

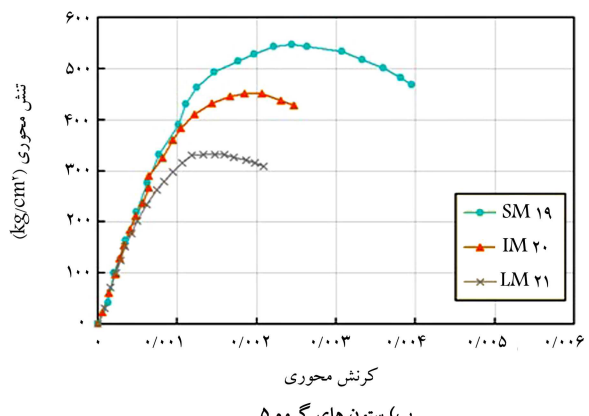
نسبت طول (L) به عمق مقطع ستون (D) در پژوهش حاضر، نسبت لاغری (L/D) نامیده می‌شود و پایداری کلی ستون با استفاده از نسبت لاغری مذکور کنترل می‌شود. سه نسبت لاغری ۱۲، ۶ و ۲۰ در مطالعات حاضر مطابق با جدول ۴، ستون‌های کوتاه، متوسط، و بلند نامگذاری و در نظر گرفته شده‌اند. پژوهش حاضر با دو درصد نسبت فولاد مختلف (۵٪ و ۱۰٪) و بتن با مقاومت ۳۰ و ۶۰ مگاپاسکال انجام شده است.

#### ۱.۲.۴. رفتار تنش - کرنش محوری

در شکل ۸، تأثیر نسبت‌های لاغری در پاسخ‌های تنش - کرنش محوری برای دو گروه

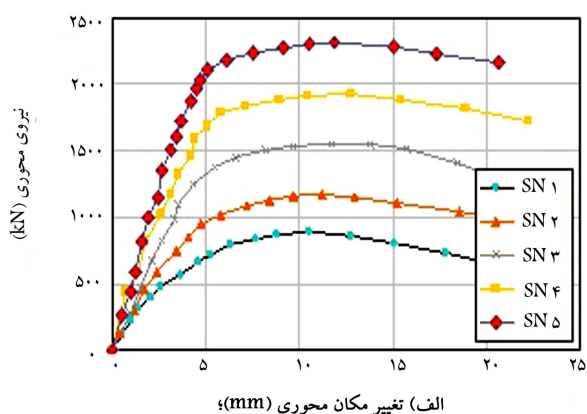


الف) ستون‌های گروه ۴

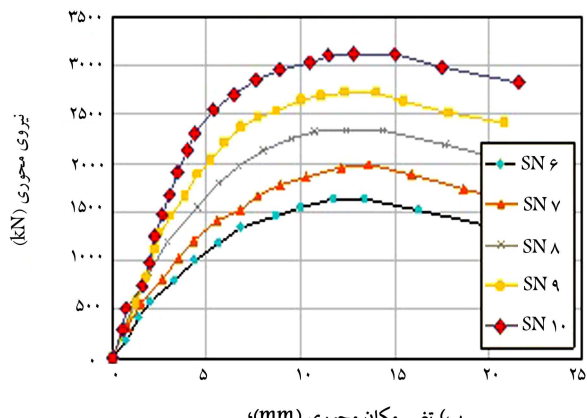


ب) ستون‌های گروه ۵

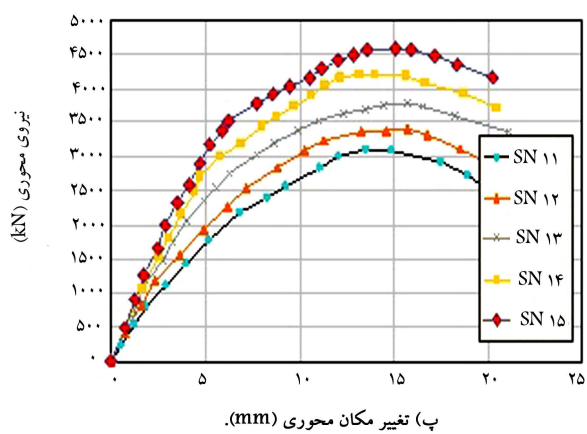
شکل ۸. تأثیر نسبت‌های لاغری در منحنی تنش - کرنش محوری.



الف) تغییر مکان محوری (mm)

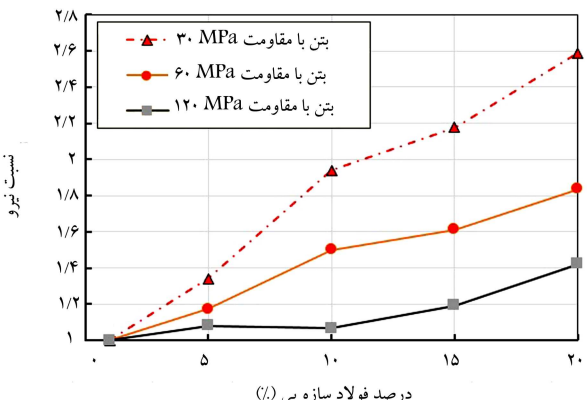


ب) تغییر مکان محوری (mm)



ب) تغییر مکان محوری (mm)

شکل ۶. تأثیر درصد فولاد مختلف در رفتار نیرو - تغییر مکان محوری.



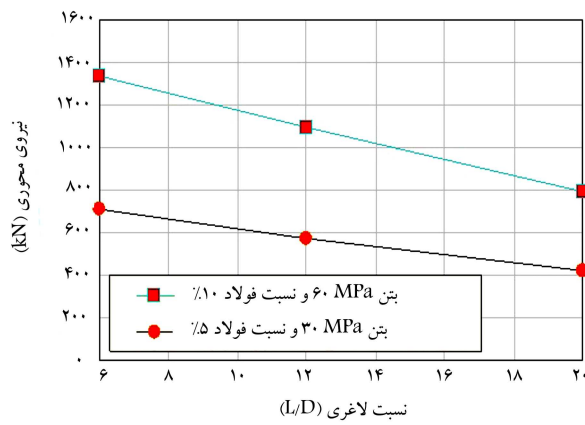
شکل ۷. تأثیر درصد فولاد در افزایش ظرفیت باربری.

جدول ۳. شاخص شکل‌پذیری در گروه‌های ۱، ۲ و ۳.

نمونه	$L/D$	$S/D$	$A_s$ (%)	مقاومت بتن (MPA)	ظرفیت محوری (kN)	(mm)	تغییرمکان در بار بیشینه (%)	شاخص شکل‌پذیری
SN1	6	0,5	1	30	8651	11,28	22,93	2,03
SN2	6	0,5	5	30	11675	11,27	24,74	2,20
SN3	6	0,5	10	30	16989	10,84	28,01	2,59
SM6	6	0,5	1	60	15929	11,32	22,12	1,95
SM7	6	0,5	5	60	18977	11,23	25,55	2,28
SMA	6	0,5	10	60	22453	11,86	29,01	2,45
SM9	6	0,5	15	60	26475	11,98	32,01	2,76
SM10	6	0,5	20	60	30 183	12,02	24,02	2,83
SH11	6	0,5	1	120	30 435	13,50	22,68	1,68
SH12	6	0,5	5	120	32260	14,18	24,62	1,74
SH13	6	0,5	10	120	37180	15,07	26,32	1,75
SH14	6	0,5	15	120	40 886	13,49	28,05	2,08
SH15	6	0,5	20	120	45152	13,80	29,20	2,12

جدول ۴. مشخصات ستون‌ها برای بررسی تأثیر نسبت لاغری.

گروه	نمونه	قطع طول (mm)	قطع طول (mm)	$L/D$	$S/D$	$e/D$	پروفیل فولادی (mm)	مقواومت بتن (MPa)	$A_s$ (%)	$A_r$ (%)
گروه ۴	SN16	500	3000	6	0,5	0,2	300 × 300 × 13 × 15	30	5	0,6
گروه ۵	IN17	500	6000	12	0,5	0,2	300 × 300 × 13 × 15	30	5	0,6
گروه ۶	LN18	500	10000	20	0,5	0,2	300 × 300 × 13 × 15	30	5	0,6
گروه ۷	SM19	500	3000	6	0,5	0,2	300 × 300 × 26 × 28	60	10	0,6
گروه ۸	IM20	500	6000	12	0,5	0,2	300 × 300 × 26 × 28	60	10	0,6
گروه ۹	LM21	500	10000	20	0,5	0,2	300 × 300 × 26 × 28	60	10	0,6



شکل ۹. تأثیر نسبت‌های لاغری بر بار محوری.

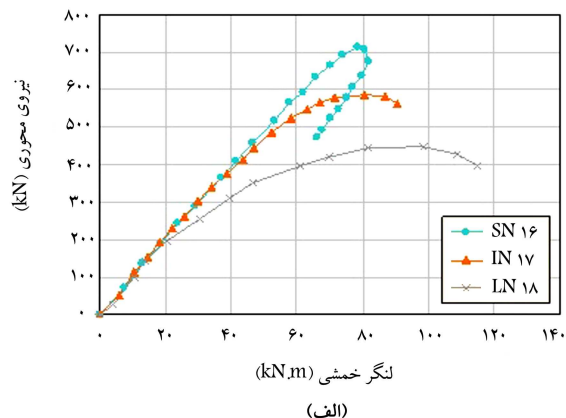
به ۲۰، ظرفیت بار برابر تا ۴۰٪ کاهش یافته است. با وجود این، لنگر در بار نهایی به میزان ۵٪ و ۸٪ برای دو نسبت لاغری ۱۲ و ۲۰ در مقایسه با نسبت لاغری ۶ افزایش یافته است. ظرفیت بار برابر نهایی با افزایش نسبت لاغری مطابق با شکل ۹ کاهش یافته است. زمانی که ستون‌ها با بتن با مقاومت بالا ساخته شوند، این مطلب بر رنگ‌تر می‌شود، که دلیل آن تسلیم شدن بتن پر مقاومت در حالت ترد است.

۴ و ۵ مشاهده می‌شود، که مطابق آن ظرفیت محوری ستون‌های مرکب با افزایش نسبت لاغری کاهش یافته است. همان‌گونه که در شکل ۱۸ لف ملاحظه می‌شود، ستون SN16 با نسبت لاغری ۶، بیشترین ظرفیت بار برابر نسبت به سایر ستون‌های گروه ۴ را دارد. چنین رفتاری نیز برای ستون SM19 نسبت به ستون‌های گروه ۵ در شکل ۸ ب مشاهده می‌شود، که رفتاری با شکل‌پذیری بالاتر نسبت به سایر ستون‌های گروه خود دارند. در کل هر چه ستون لاغرتر باشد، تغییرمکان محوری با یک کاهش در بار محوری افزایش می‌باید.

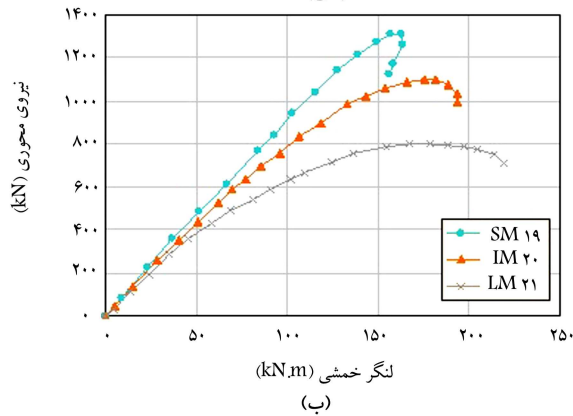
۲.۲.۴. بار بیشینه و لنگر مقناظر با آن در جدول ۵، تأثیر نسبت لاغری در بار بیشینه و لنگر ارائه شده است. ستون‌های دو گروه ۴ و ۵ با ۰,۵٪ و ۱۰٪ فولاد ساخته شده‌اند. در ستون‌های گروه ۴، نسبت لاغری از ۶ به ۱۲ افزایش داده شده است، که در نتیجه، بار محوری نهایی به میزان ۱۸٪ کاهش یافته است. از طرفی دیگر، افزایش نسبت لاغری از ۶ به ۲۰ منجر به ۴٪ کاهش یافته است. افزایش نسبت لاغری ۱۲ و ۲۰ در مقایسه با نسبت لاغری به ۰,۵٪ و ۱۰٪ برای نسبت‌های لاغری ۱۲ و ۲۰ در مقدار لنگر خمی ناشی از افزایش در لنگر مرتبه ۶ دوم ستون است، که با افزایش لاغری فراهم شده است. به طور مشابه برای ستون‌های گروه ۵، با افزایش نسبت لاغری از ۶ به ۱۲، ظرفیت بار برابری به میزان ۱۹٪ کاهش یافته است. از طرفی، با افزایش نسبت لاغری

جدول ۵. تأثیر نسبت لاغری کل در بار بیشینه.

گروه	نمونه	$L/D$	$S/D$	$e/D$	مقاومت بتن (MPa)	بار نهایی (kN)	لنگر نهایی (kN.m)	کرنش نهایی	تفصیل مکان نهایی	درصد اختلاف (%)	لنگر خمی	نیرو
	SN ۱۶	۶	۰,۵	۰,۲	۷۰۳۴	۸۰۵	۲۴۵۲	۱۵	-	-	-	-
۴	IN ۱۷	۱۲	۰,۵	۰,۲	۵۷۲۰	۸۴۶	۱۷۷۳	۴۸	-۱۸	۵		
	LN ۱۸	۲۰	۰,۵	۰,۲	۴۳۷۰	۸۷۹	۱۲۴۱	۱۰۱	-۳۷	۱۰		
	SM ۱۹	۶	۰,۵	۰,۲	۱۳۰۴۵	۱۵۵۹	۲۵۸۰	۱۷	-	-		
۵	IM ۲۰	۱۲	۰,۵	۰,۲	۱۰۸۰۷	۱۶۲۳	۱۹۳۷	۵۴	-۱۹	۵		
	LM ۲۱	۲۰	۰,۵	۰,۲	۷۹۶۲	۱۶۷۳	۱۴۰۰	۱۱۰	-۴۰	۸		



(الف)

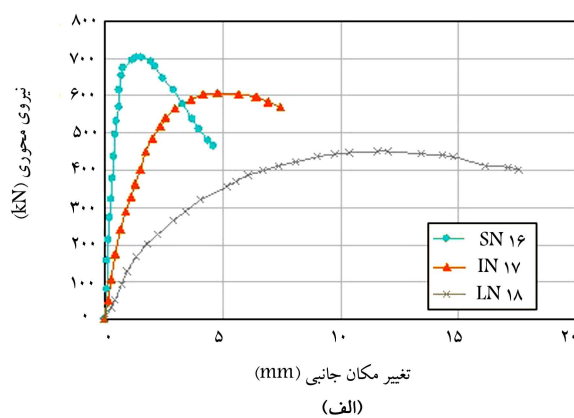


(ب)

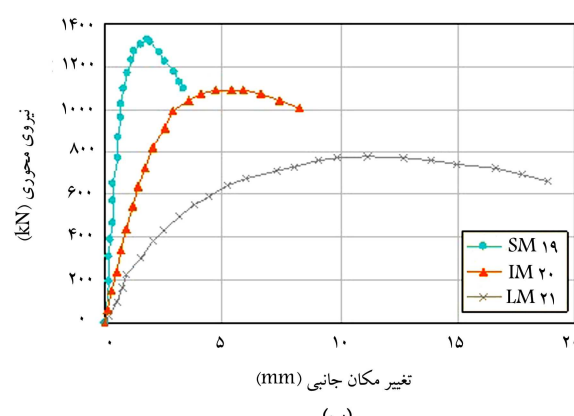
شکل ۱۱. تأثیر نسبت لاغری بر منحنی نیرو - لنگر خمی.

۴.۴.۳. پاسخ نیرو - لنگر خمی  
منحنی های نیرو - لنگر خمی برای ستون های کوتاه، متوسط و بلند برای دو گروه ۴ و ۵ در شکل ۱۱ به ترتیب نشان داده است. در هر دو مورد، منحنی های نیرو - لنگر خمی ستون های کوتاه بیشتر به رفتار خطی نسبت به سایر ستون ها نزدیک است. با وجود این، با افزایش نسبت لاغری، رفتار اخیر غیرخطی شده است که به دلیل تأثیر تغییر شکل مرتبه دوم است. تأثیر نسبت لاغری در منحنی نیرو - لنگر خمی برای هر دو گروه مشابه بوده است.

۴.۳. تأثیر نسبت خروج از محوریت نیرو  
شش ستون در قالب دو گروه ۶ و ۷ مطابق جدول ۶ برای مشاهده تأثیر نسبت برون محوری در نظر گرفته شده اند. ستون ها در گروه ۶، شامل SN۲۲، SN۲۳ و



(الف)



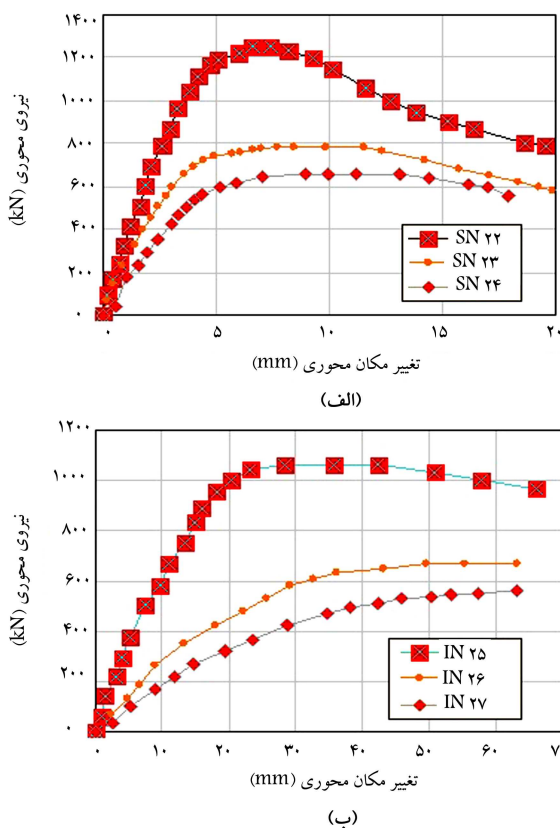
(ب)

شکل ۱۰. تأثیر نسبت لاغری بر منحنی نیروی محوری - تغییر مکان جانبی.

۴.۳.۲.۴. پاسخ نیرو - تغییر مکان جانبی  
منحنی نیروی محوری - تغییر مکان جانبی برای ستون های گروه ۴ و ۵ در شکل ۱۵ مشاهده می شود که مطابق آن ناحیه ای قبل از رسیدن به بار بیشینه در منحنی برای ستون های کوتاه SN ۱۶ و SM ۱۹، یک شیب زیاد و رفتار خطی دارد. از طرفی دیگر، با افزایش نسبت لاغری، ناحیه ای اشاره شده از منحنی، رفتار غیرخطی پیدا کرده است که منجر به کاهش شیب اولیه شده است. رفتار غیرخطی به دلیل افزایش تغییر مکان مرتبه دوم در ستون های لاغر رخ داده است. همانگونه که در شکل ۱۵ ملاحظه می شود، ستون های کوتاه، افت شدیدی را بلا فاصله پس از بار بیشینه تجربه کرده اند؛ در حالی که ستون های بلند توانسته اند بار محوری بیشینه را در محدوده عرضی تری تحمل کنند.

جدول ۶. مشخصات ستون‌ها برای بررسی تأثیر نسبت برون محوری ( $e/D$ ).

$A_r$	$A_s$	مقاومت بتن (%)	پروفیل فولادی (mm)	$e/D$	$S/D$	$L/D$	طول (mm)	قطعه (mm)	نمونه	گروه
۰,۶	۱۰	۳۰	۳۰۰ × ۳۰۰ × ۲۶ × ۲۸	۰,۱	۰,۵	۶	۳۰۰۰	۵۰۰	SN ۲۲	
۰,۶	۱۰	۳۰	۳۰۰ × ۳۰۰ × ۲۶ × ۲۸	۰,۳	۰,۵	۶	۳۰۰۰	۵۰۰	SN ۲۳	گروه ۶
۰,۶	۱۰	۳۰	۳۰۰ × ۳۰۰ × ۲۶ × ۲۸	۰,۴	۰,۵	۶	۳۰۰۰	۵۰۰	SN ۲۴	
۰,۶	۱۰	۳۰	۳۰۰ × ۳۰۰ × ۲۶ × ۲۸	۰,۱	۰,۵	۱۲	۶۰۰۰	۵۰۰	IN ۲۵	
۰,۶	۱۰	۳۰	۳۰۰ × ۳۰۰ × ۲۶ × ۲۸	۰,۳	۰,۵	۱۲	۶۰۰۰	۵۰۰	IN ۲۶	گروه ۷
۰,۶	۱۰	۳۰	۳۰۰ × ۳۰۰ × ۲۶ × ۲۸	۰,۴	۰,۵	۱۲	۶۰۰۰	۵۰۰	IN ۲۷	



شکل ۱۲. تأثیر نسبت برون محوری در منحنی نیرو - تغییرمکان محوری.

باربری به مقدار ٪/۲۷، ٪/۵۴ و ٪/۶۱ برای ستون‌های SN ۲۲، SN ۲۳ و SN ۲۴ در مقایسه با ستون SN ۳ کاهش یافته است.

#### ۳.۳.۴. پاسخ نیرو - تغییرمکان جانبی

آثار نسبت برون محوری در منحنی نیرو - تغییرمکان جانبی در شکل ۱۳ برای ستون‌های دو گروه ۶ و ۷ نشان داده شده است. در هر دو گروه، تغییرمکان جانبی در بار مشخص با افزایش نسبت برون محوری افزایش یافته است که مورد انتظار نیز بود. افزایش تغییرمکان جانبی در ستون‌های متوسط بیشتر از ستون‌های کوتاه بوده است. این امر نیز به دلیل داشتن سختی خمشی کمتر ستون‌های متوسط بوده است. در شکل (۱۳) (الف و ب) که یک ناحیه بیشینه‌ی منحنی نسبتاً تخت با یک افت تدریجی در ظرفیت بار محوری در شاخه‌ی نزولی مشاهده می‌شود، افزایش نسبت برون محوری رخ داده است.

SN ۲۴ با مقاومت ۳۰ مگاپاسکال و نسبت لاغری ۶ ساخته شدند. از طرفی دیگر، ستون‌های گروه ۷ شامل IN ۲۵ و IN ۲۶ با همان بتن و نسبت لاغری ۱۲ ساخته شدند. نیرو در ستون‌های اشاره شده به صورت خروج از محوریت حول محور قوی اعمال شده است. نسبت‌های برون محوری برابر با ۰,۱، ۰,۳ و ۰,۴ در نظر گرفته شدند. نسبت‌های بالای خروج از محوریت باعث افزایش تش‌های فشاری - خمشی در مقطع شده است. هر چه نسبت خروج از محوریت بیشتر باشد، ظرفیت باربری محوری ستون در مقایسه با بار هم محور کمتر شده است. تمام ستون‌ها با نسبت فولاد ۱۰٪ بودند.

#### ۱.۳.۴. پاسخ نیرو - تغییرمکان محوری

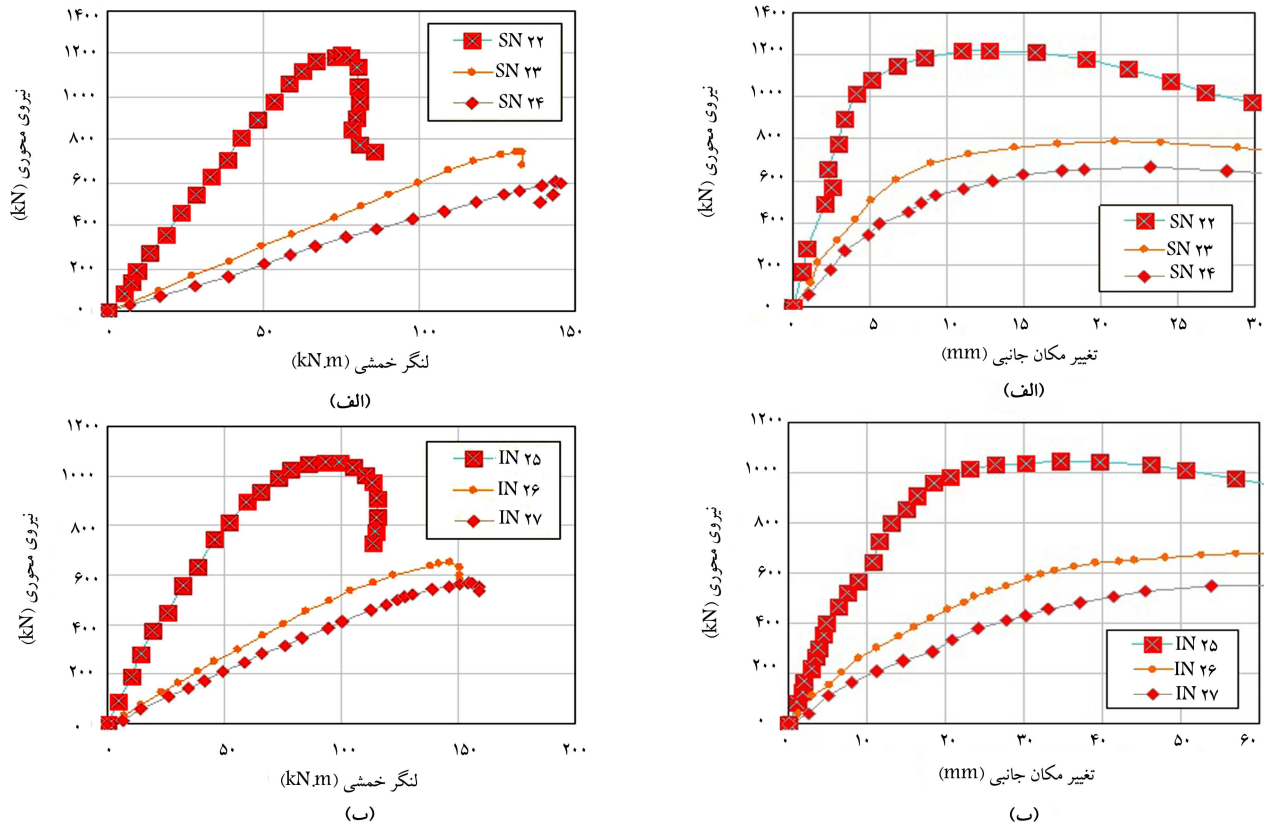
در شکل ۱۲، تأثیر نسبت برون محوری نیرو در منحنی نیرو - تغییرمکان محوری برای دو گروه از ستون‌های ۶ و ۷ مشاهده می‌شود که مطابق آن با افزایش نسبت برون محوری، ظرفیت باربری و سختی اولیه ستون‌های مرکب به طور قابل ملاحظه‌ی کاهش یافته است. همچنین ملاحظه شد که کاهش در سختی برای ستون‌های با نسبت لاغری بزرگ، بیشتر مشهود است. با افزایش نسبت برون محوری ستون‌های دو گروه ۶ و ۷، مقاومت پس از بار بیشینه به طور تدریجی کاهش یافته است. از طرفی دیگر، ستون‌ها در گروه ۶، شبیه شدیدتری در ناحیه‌ی صعودی در مقایسه با ستون‌های گروه ۷ داشته‌اند، چرا که ستون با نسبت لاغری بزرگ تر، تغییرشکل محوری بزرگ‌تری در سختی کمتر در مقایسه با ستون کوتاه متحمل شده است.

#### ۲.۳.۴. بار بیشینه و لنگر خمشی متناظر با آن

در جدول ۷، تأثیر نسبت برون محوری در ظرفیت باربری محوری و لنگر متناظر با آن برای ستون‌های مرکب در دو گروه ۶ و ۷ ارائه شده است. برای ستون‌های گروه ۶، بارهای محوری بیشینه متناظر با برون محوری ٪/۱۰ به میزان ٪/۳۶ و ٪/۴۶ و قیمت نسبت‌ها به ٪/۳ و ٪/۴ افزایش یابند، کاهش یافته‌اند. به طور مشابه، برای ستون‌های گروه ۷، ظرفیت برای نسبت برون محوری ٪/۰ و ٪/۴ به میزان ٪/۳۷ و ٪/۴۷ کاهش یافته است. برای ستون‌های گروه ۶، لنگر خمشی متناظر با نسبت برون محوری ٪/۱ به میزان ٪/۷۳ و ٪/۹۱ افزایش یافته است. این افزایش برای سختی زمانی است که نسبت برون محوری به ترتیب به ٪/۰ و ٪/۰ افزایش یافته است. به طور مشابه، برای ستون‌های گروه ۷، لنگر خمشی به مقدار ٪/۵۴ و ٪/۵۸ برای دو نسبت برون محوری ٪/۰ و ٪/۴ افزایش یافته است. قابل ذکر است که ستون SN ۳ با مشخصات مشابه با گروه ۶ ساخته شد که برای شرایط بارگذاری هم محور با ظرفیت محوری ۱۶۹۹ کیلونیون بود. ظرفیت باربری تمام ستون‌ها در گروه ۶ کمتر از نمونه‌ی SN ۳ بوده است. ظرفیت

جدول ۷. تأثیر نسبت برون محوری در بار بیشینه و لنگر خمشی.

درصد اختلاف نیرو (%)	لنگر خمشی (%)	نهایی			مقاومت بتن (MPa)	$e/D$	$S/D$	$L/D$	نمونه	گروه
		برابر	کرنش	تغییر مکان (mm)						
-	-	۱۳	۲۴۸۱	۷۷,۶	۱۲۲۶	۳۰	۰,۱	۰,۵	۶	SN ۲۲
۷۳	-۳۶	۲۱	۳۲۳۰	۱۳۴	۷۸۵	۳۰	۰,۳	۰,۵	۶	گروه ۶ SN ۲۳
۹۱	-۴۶	۲۴	۳۳۹۴	۱۴۸	۶۶۵	۳۰	۰,۴	۰,۵	۶	SN ۲۴
-	-	۳۵	۱۹۹۲	۹۰	۱۰۵۶	۳۰	۰,۱	۰,۵	۱۲	IM ۲۵
۵۴	-۳۷	۵۴	۲۰۵۴	۱۳۹	۶۶۸	۳۰	۰,۳	۰,۵	۱۲	گروه ۷ IM ۲۶
۵۸	-۴۷	۵۵	۲۱۰۹	۱۴۲	۵۵۹	۳۰	۰,۴	۰,۵	۱۲	IM ۲۷



شکل ۱۴. تأثیر نسبت برون محوری بر منحنی نیرو - لنگر خمشی.

پر مقاومت انجام شده است. بنابراین، در مطالعه‌ی پارامتریک، مقاومت بتن مطابق با جدول ۸ در سه مقدار ۳۰، ۶۰ و ۱۲۰ مگاپاسکال در نظر گرفته شده است که برای پوشش دادن سه محدوده‌ی بتن با مقاومت پایین، متوسط و پر مقاومت در ترکیب با سایر پارامترها بوده است. نسبت برون محوری نیرو در گروه ۸ برابر با ۱/۰ و در گروه ۹ برابر با ۳/۰ انتخاب شد. نیرو به صورت برون محوری و حول محور قوی پروفیل فولادی اعمال شده است. نسبت‌های لاغری برای تمام ستون‌های دو گروه برابر با ۶ و نسبت فولاد نیز برابر با ۱۰٪ در نظر گرفته شده است.

#### ۴.۱.۴. پاسخ نیرو - تغییر مکان محوری

در شکل ۱۵، منحنی نیرو - تغییر مکان محوری برای ستون‌های دو گروه ۸ و ۹ مشاهده می‌شود که مطابق آن نیروی محوری نهایی و سختی ستون مرکب کوتاه به طور چشم‌گیری متأثر از مقاومت بتن بوده است. پاسخ‌های نیرو - تغییر مکان محوری

شکل ۱۳. تأثیر نسبت برون محوری بر منحنی نیرو - تغییر مکان جانبی.

**۴.۳.۴. پاسخ نیرو - لنگر خمشی**  
در شکل ۱۴، منحنی‌های نیرو - لنگر خمشی برای ستون‌های کوتاه و متوسط در هر گروه مشاهده می‌شود. منحنی نیرو - لنگر خمشی برای ستون‌های کوتاه، بیانگر رفتار کشسان است. با وجود این، با افزایش نسبت برون محوری، منحنی رفتار غیرخطی از خود نشان داده است که به دلیل وجود تغییر مکان مرتبه‌ی دوم بوده است.

#### ۴.۴. تأثیر مقاومت فشاری بتن

مقاومت فشاری بتن، نقش مهمی در افزایش ظرفیت بار باری ایفا می‌کند که متعاقباً موجب کاهش سطح مقطع عضو نیز می‌شود. با وجود این، بررسی‌های انگلی به صورت عددی و آزمایشگاهی تا به امروز برای ستون‌های SRC با بتن‌های پر مقاومت و بسیار

جدول ۸. مشخصات ستون‌ها برای بررسی تأثیر مقاومت فشاری بتن.

$A_r$	$A_s$	مقاومت بتن (%)	پروفیل فولادی (mm)	$e/D$	$S/D$	$L/D$	طول (mm)	قطعه (mm)	نمونه	گروه
۰,۶	۱۰	۳۰	۳۰۰ × ۳۰۰ × ۲۶ × ۲۸	۰,۱	۰,۵	۶	۳۰۰۰	۵۰۰	SN ۲۸	
۰,۶	۱۰	۶۰	۳۰۰ × ۳۰۰ × ۲۶ × ۲۸	۰,۱	۰,۵	۶	۳۰۰۰	۵۰۰	SM ۲۹	گروه ۸
۰,۶	۱۰	۱۲۰	۳۰۰ × ۳۰۰ × ۲۶ × ۲۸	۰,۱	۰,۵	۶	۳۰۰۰	۵۰۰	SH ۳۰	
۰,۶	۱۰	۳۰	۳۰۰ × ۳۰۰ × ۲۶ × ۲۸	۰,۳	۰,۵	۶	۳۰۰۰	۵۰۰	SN ۳۱	
۰,۶	۱۰	۶۰	۳۰۰ × ۳۰۰ × ۲۶ × ۲۸	۰,۳	۰,۵	۶	۳۰۰۰	۵۰۰	SM ۳۲	گروه ۹
۰,۶	۱۰	۱۲۰	۳۰۰ × ۳۰۰ × ۲۶ × ۲۸	۰,۳	۰,۵	۶	۳۰۰۰	۵۰۰	SH ۳۳	

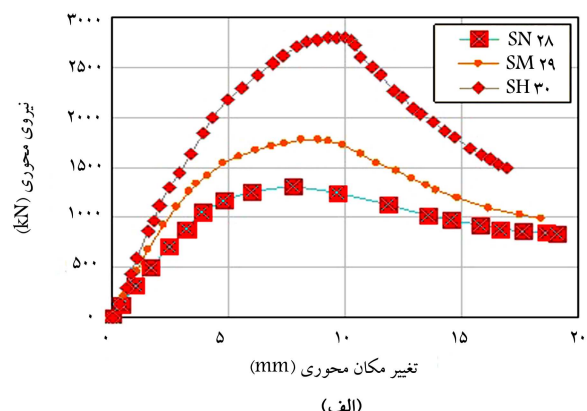
یافته است. از طرف دیگر، ظرفیت بار باری نهایی ستون SH<sup>۳۰</sup> به مقدار ۵۶٪ وقوعی مقاومت بتن از ۶۰ مگاپاسکال به ۱۲۰ مگاپاسکال افزایش داده شد، رشد داشت. به طور مشابه، ظرفیت بار باری نهایی ستون SM<sup>۳۲</sup> به مقدار ۳۸٪ در مقایسه با SN<sup>۳۱</sup> رشد داشته است. ظرفیت بار باری نهایی ستون SH<sup>۳۳</sup> به مقدار ۵۱٪ وقوعی مقاومت بتن از ۶۰ مگاپاسکال به ۱۲۰ مگاپاسکال افزایش داده شد، رشد یافته است. تأثیر مقاومت فشاری بتن در لنگر خمی در نقطه بار بیشینه در جدول ۹ ارائه شده است. لنگر خمی به ترتیب به میزان ۴۴٪ و ۳۹٪ برای دو گروه ۸ و ۹ با افزایش مقاومت فشاری بتن از ۳۰ مگاپاسکال به ۶۰ مگاپاسکال مشاهده شد. دوباره با افزایش مقاومت فشاری بتن از ۳۰ مگاپاسکال به ۱۲۰ مگاپاسکال، ظرفیت بار باری برای گروه ۸ به مقدار ۶۱٪ و برای گروه ۹ به مقدار ۵۳٪ افزایش داشته است. میانگین افزایش نیروی محوری بیشینه و لنگر خمی متناظر با آن برای دو گروه با نسبت‌های برونو محوری مختلف به ترتیب ۴۰٪ و ۴۲٪ بوده است. این در حالی است که مقاومت فشاری بتن از ۶۰ مگاپاسکال به ۱۲۰ مگاپاسکال افزایش داده شده است. با این حال، شکل پذیری ستون‌ها به طرز قابل توجهی با افزایش مقاومت فشاری بتن کاهش یافته است.

#### ۵.۴. تأثیر فاصله‌ی میلگرد‌های عرضی

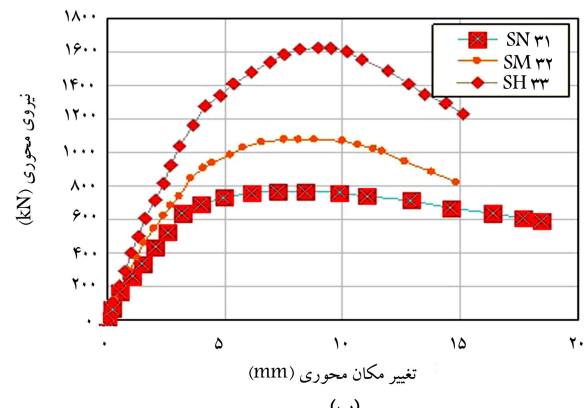
هدف اصلی استفاده از میلگرد عرضی در ستون‌های مرکب SRC، فراهم آوردن محصورشوندگی بتن به منظور جلوگیری از کنده شدن بتن اطراف پروفیل فولادی و تأمین شرایط مناسب تکیه‌گاهی برای میلگرد‌های طولی جهت مانع از کمانش میلگرد‌ها بوده است. میلگرد عرضی همچنین می‌تواند باعث افزایش ظرفیت برشی مقطع شود. بنابراین، فاصله‌ی بین خاموت، پارامتر کلیدی و تأثیرگذار در ظرفیت نهایی و رفتار ستون‌هاست. تأثیر فاصله‌ی بین خاموت‌ها با تغییر در نسبت فاصله‌ی خاموت (S) به عمق مقطع ستون (D) مطالعه شده است. سه مقدار نسبت S/D برابر با ۰,۱، ۰,۲، ۰,۳ مطابق با جدول ۱۰ در مطالعه‌ی پارامتریک به منظور تعیین تأثیر پارامتر فاصله‌ی میلگرد‌های عرضی در رفتار کلی سیستم در نظر گرفته شده است.

#### ۱.۵.۴. پاسخ نیرو - تغییر مکان محوری

شکل ۱۶، منحنی نیرو - تغییر مکان محوری ستون‌های گروه ۱۰ را نشان می‌دهد. شاخه‌ی صعودی منحنی برای تمام ستون‌های گروه ۱۰، رفتار مشابهی را نشان داده است. از طرف دیگر، رفتار تسلیم از فاصله‌ی بین میلگرد‌های عرضی متأثر می‌شود. مطابق شکل مذکور مشاهده می‌شود که تسلیم پس از بار بیشینه با فاصله‌ی بین میلگرد‌های عرضی متأثر است. ستون SN<sup>۳۴</sup> ناحیه‌ی بیشینه‌ی نسبتاً تخت و مسطوحی در مقایسه با ستون SN<sup>۳۶</sup> از خود نشان می‌دهد. ستون‌های



(الف)



(ب)

شکل ۱۵. تأثیر مقاومت فشاری بتن بر منحنی نیرو - تغییر مکان محوری.

ستون‌های مرکب با بتن با مقاومت بالا نشان داد که شبی شدید به وجود آمده در بخش صعودی منحنی به دلیل مدول کشسانی بالا بوده است. ستون‌های SH<sup>۳۰</sup> و SH<sup>۳۳</sup> با بتن با مقاومت ۱۲۰ مگاپاسکال نیز شبی شدید در بخش نزولی در مقایسه با سایر ستون‌ها داشته‌اند. با وجود این، ستون‌های ساخته شده از بتن با مقاومت بالا نشان دادند که نسبت به ستون ساخته شده با بتن معمولی و بتن با مقاومت کم برای یک وضعیت خاموت‌گذاری یکسان، وضعیت تردی داشته‌اند.

۲.۴.۴. بار بیشینه و لنگر خمی متناظر با آن اثر مقاومت بتن در ظرفیت نهایی ستون در جدول ۹ ارائه شده است. ظرفیت بار محوری نهایی ستون SM<sup>۲۹</sup> به مقدار ۴۲٪ در مقایسه با ستون SN<sup>۲۸</sup> وقتی که مقاومت فشاری بتن از ۳۰ مگاپاسکال به ۶۰ مگاپاسکال تغییر کرده است، افزایش

جدول ۹. تأثیر مقاومت بتن در بار بیشینه و لنگر خمی.

گروه	نمونه	$e/D$	$S/D$	$L/D$	مقاآمت بتن (MPa)	بار (kN)	لنگر (kN.m)	تغییر مکان (mm)	نهايی	درصد اختلاف	
										نیرو (%)	لنگر خمی (%)
-	-	-	-	-	۱۲۲۶	۷۷/۲	۲۲۳۳	۱۳	۲۲۳۳	-	-
۴۴	۴۲	-	-	-	۱۷۳۹	۸۰	۲۶۶۷	۱۴	۲۶۶۷	گروه ۸	SM۲۹
۶۱	۵۶	-	-	-	۲۷۲۱	۱۲۰	۳۱۱۷	۱۶	۳۱۱۷	گروه ۹	SH۳۰
-	-	-	-	-	۷۸۵	۳۰	۲۹۳۳	۲۰	۲۹۳۳	-	IN۳۱
۳۹	۳۸	-	-	-	۱۰۸۲	۶۰	۳۰۲۷	۲۱	۳۰۲۷	گروه ۱۰	IM۳۲
۵۳	۵۱	-	-	-	۱۶۳۶	۱۲۰	۳۰۸۲	۲۲	۳۰۸۲	گروه ۱۱	IH۳۳

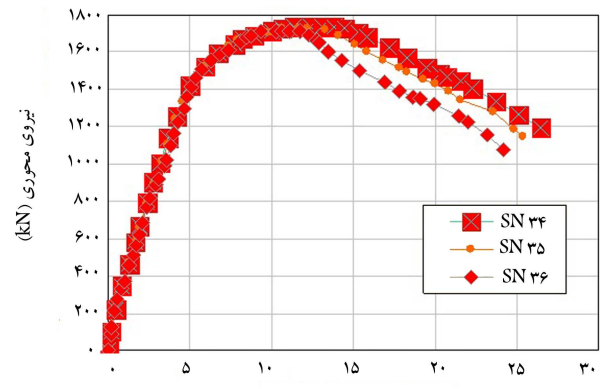
 جدول ۱۰. مشخصات ستون‌ها برای بررسی تأثیر فاصله‌ی بین میلگردی‌های عرضی ( $S/D$ ).

گروه	نمونه	قطعه (mm)	طول (mm)	$L/D$	$S/D$	$e/D$	پروفیل فولادی (mm)	مقاومت بتن (MPa)	$A_s$ (%)	$A_r$ (%)
-	-	۵۰۰	۳۰۰۰	۶	۰/۵	۰/۱	۳۰۰ × ۳۰۰ × ۲۶ × ۲۸	۱۲۲۶	۰/۶	۱۰
گروه ۱۰	SN۳۴	۵۰۰	۳۰۰۰	۶	۰/۵	۰/۲	۳۰۰ × ۳۰۰ × ۲۶ × ۲۸	۱۷۳۹	۰/۶	۱۰
-	-	۵۰۰	۳۰۰۰	۶	۰/۵	۰/۴	۳۰۰ × ۳۰۰ × ۲۶ × ۲۸	۲۷۲۱	۰/۶	۱۰
گروه ۱۱	SN۳۵	۵۰۰	۳۰۰۰	۶	۰/۵	۰/۱	۳۰۰ × ۳۰۰ × ۲۶ × ۲۸	۷۸۵	۰/۶	۱۰
-	-	۵۰۰	۳۰۰۰	۶	۰/۵	۰/۲	۳۰۰ × ۳۰۰ × ۲۶ × ۲۸	۱۰۸۲	۰/۶	۱۰
گروه ۱۲	SM۳۷	۵۰۰	۳۰۰۰	۶	۰/۵	۰/۱	۳۰۰ × ۳۰۰ × ۲۶ × ۲۸	۱۶۳۶	۰/۶	۱۰
-	-	۵۰۰	۳۰۰۰	۶	۰/۵	۰/۴	۳۰۰ × ۳۰۰ × ۲۶ × ۲۸	۱۶۳۶	۰/۶	۱۰
گروه ۱۳	SM۳۸	۵۰۰	۳۰۰۰	۶	۰/۵	۰/۲	۳۰۰ × ۳۰۰ × ۲۶ × ۲۸	۱۰۸۲	۰/۶	۱۰
-	-	۵۰۰	۳۰۰۰	۶	۰/۵	۰/۴	۳۰۰ × ۳۰۰ × ۲۶ × ۲۸	۷۸۵	۰/۶	۱۰
گروه ۱۴	SM۳۹	۵۰۰	۳۰۰۰	۶	۰/۵	۰/۱	۳۰۰ × ۳۰۰ × ۲۶ × ۲۸	۱۷۳۹	۰/۶	۱۰

نسبت‌های انتخاب شده‌ی  $0/1$ ,  $0/2$ ,  $0/4$  و  $0/5$  محاسبه شده است. ظرفیت باربری محوری نهایی ستون‌های SN۳۴ و SN۳۵ در مقایسه با ستون SN۳۶ به ترتیب  $2\%$  و  $4\%$  افزایش داشته است. به طور مشابه، ظرفیت باربری محوری نهایی ستون‌های SM۳۷ و SM۳۸ نسبت به ستون SM۳۹ به ترتیب  $3\%$  و  $4\%$  بیشتر بوده است.

### ۳.۵.۴ تأثیر فاصله‌ی خاموت برای بتن با مقاومت بالا

باید اذعان داشت که مقاومت زیاد، موجب رفتار ترد و شکننده می‌شود. در مورد ستون‌های مركب مورد بحث، لازم است که به عضو اجازه‌ی تسلیم در حالت شکل‌پذیر داده شود و از شکست ترد جلوگیری شود. در مطالعه‌ی حاضر، یک مقایسه به منظور شبیه‌سازی ستون با مصالح پرمقاومت و فواصل مختلف خاموت انجام شده است. ابتدا، ستون SHH۱۳ با بتن با مقاومت ۱۲۰ مگاپاسکال و فولاد با تنش تسلیم ۳۵۰ مگاپاسکال و فاصله‌ی خاموت ۲۵۰ میلی‌متر شبیه‌سازی شده است. دوباره، ستون مذکور با بتن با مقاومت ۱۲۰ مگاپاسکال و فولاد با تنش تسلیم ۹۱۳ مگاپاسکال با نام SHH۱۳ شبیه‌سازی و تحلیل شد. ستون SHH۱۳ برای دو فاصله‌ی خاموت برابر با ۲۵۰ میلی‌متر و ۱۲۵ میلی‌متر تحلیل شده است. در شکل ۱۷، منحنی‌های نیرو - تغییرمکان محوری برای ستون‌های SHH۱۳ و SHH۱۳ مشاهده می‌شود که مطابق آن ستون SHH۱۳ در وضعیت SHH۱۳ ترد و شکننده تسلیم شده است. این مطلب مربوط به زمانی است که فاصله‌ی بین خاموت برابر با ۲۵۰ میلی‌متر در نظر گرفته شود. از طرفی دیگر، با کاهش فاصله‌ی خاموت از ۲۵۰ میلی‌متر به ۱۲۵ میلی‌متر، مود تسلیم از حالت ترد به حالت شکل‌پذیر تغییر یافته و دلیل آن نیز مخصوص‌شده‌گی بتن است. این امر موجب افزایش و بهبود شکل‌پذیری ستون‌های با مصالح پرمقاومت می‌شود. وقتی فاصله‌ی خاموت از ۲۵۰ میلی‌متر به ۱۲۵ میلی‌متر تقلیل یافته است، افزایش



شکل ۱۶. تأثیر فاصله‌ی میلگردی‌های عرضی بر پاسخ نیرو - تغییرمکان ستون‌های گروه ۱۰.

SN۳۶ و SN۳۵، SN۳۴ با سه نسبت فاصله‌ی خاموت شبیه‌سازی شدند. شاخص شکل‌پذیری ستون‌های اخیر در گروه ۱۰ با کاهش فاصله‌ی بین میلگردی‌ها مطابق با جدول ۱۱ افزایش یافته است. درصد افزایش شکل‌پذیری ستون SN۳۶ نسبت به دو ستون SN۳۵ و SN۳۶ به ترتیب  $11\%$  و  $22\%$  بوده است. شاخص شکل‌پذیری مطابق با آنچه بیشتر تعریف شد، نسبت بین تغییرمکان در نقطه‌ی  $70\%$  بار بیشینه در بخش نرولی منحنی به تغییرمکان در بار بیشینه است.

### ۴.۲.۵.۴ بار بیشینه برای فواصل مختلف خاموت

تأثیر فاصله‌ی بین میلگردی‌های عرضی در ظرفیت ستون‌های مركب در جدول ۱۲ بررسی شده است. افزایش در ظرفیت باربری در درصدهای مختلف برای

جدول ۱۱. شاخص شکل‌پذیری ستون در گروه ۱۰.

نمونه	$L/D$	$S/D$	$A_s$ (%)	مقاومت بتن (MPa)	ظرفیت محوری (kN)	تغییر مکان در بار بیشینه (mm)	شاخص شکل‌پذیری (%)
SN۳۴	۶	۰,۱	۱	۳۰	۱۷۶۶	۱۲,۸۷	۲۷,۸۳
SN۳۵	۶	۰,۲	۵	۳۰	۱۷۳۳	۱۲,۳۷	۲۴,۲۱
SN۳۶	۶	۰,۴	۱۰	۳۰	۱۶۹۹	۱۲,۲۵	۲۲,۱۰

جدول ۱۲. تأثیر فاصله‌ی بین میلگرد‌های عرضی در بار بیشینه.

نمونه	$L/D$	$S/D$	$A_s$ (%)	مقاومت بتن (MPa)	ظرفیت محوری (kN)	درصد افزایش بار (%)
SN۳۴	۶	۰,۱	۱۰	۳۰	۱۷۶۶	۴
SN۳۵	۶	۰,۲	۱۰	۳۰	۱۷۳۳	۲
SN۳۶	۶	۰,۴	۱۰	۳۰	۱۶۹۹	۰
SM۳۷	۶	۰,۱	۱۰	۶۰	۲۵۱۷	۴
SM۳۸	۶	۰,۲	۱۰	۶۰	۲۴۹۴	۳
SM۳۹	۶	۰,۴	۱۰	۶۰	۲۴۱۷	۰

جدول ۱۳. شاخص شکل‌پذیری ستون با مصالح با مقاومت معمولی و بالا.

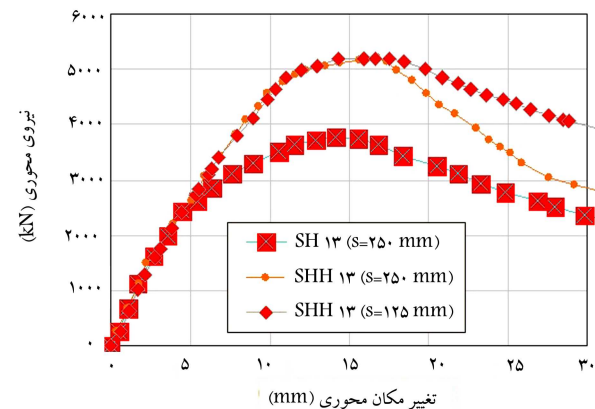
نمونه	$L/D$	$S/D$	$A_s$ (%)	فولاد (MPa)	تش تسلیم فولاد (MPa)	مقاومت بتن (MPa)	ظرفیت محوری (kN)	تغییر مکان در بار بیشینه (mm)	شاخص شکل‌پذیری (%)
SH ۱۳	۶	۰,۵	۱۰	۳۵۰	۱۲۰	۲۷۱۸	۱۵,۰۷	۲۶,۳۲	۱,۷۵
SHH ۱۳	۶	۰,۵	۱۰	۹۱۳	۱۲۰	۵۲۳۸	۱۶,۹۴	۲۴,۶۴	۱,۴۵
SHH ۱۳	۶	۰,۲۵	۱۰	۹۱۳	۱۲۰	۵۳۱۹	۱۷,۱۲	۳۴,۹۹	۲,۰۵

## ۵. نتیجه‌گیری

۱. افزایش در ظرفیت محوری ستون‌های کوتاه با تغییر در درصد فولاد به طور چشم‌گیری متأثر از مقاومت بتن است. نرخ افزایش در ظرفیت محوری برای بتن با مقاومت معمولی بیشتر از نمونه باین با مقاومت بالاست. نرخ رشد ظرفیت با بریست ستون‌هایی که از بتن با مقاومت بالا ساخته شده‌اند، با افزایش درصد فولاد کاهش یافته و مزیت استفاده از درصد‌های بیشتر نسبت فولاد برای این‌گونه ستون‌ها از بین رفته است.

۲. شاخص شکل‌پذیری با افزایش درصد فولاد و همچنین کاهش فاصله بین میلگرد‌های عرضی در ستون مرکب افزایش می‌یابد. به‌طوری که برای یک فاصله‌ی خاموت یکسان، افزایش درصد فولاد مقطع از ۱٪ به ۲۰٪، سبب افزایش شاخص شکل‌پذیری به مقدار ۴۵٪ برای ستون‌های با مقاومت بتن ۶۰ MPa شده است. افزایش شاخص شکل‌پذیری صورت‌گرفته برای ستون‌های با مقاومت ۳۰ MPa به مقدار ۲۸٪ و برای ستون‌های با مقاومت ۱۲۰ MPa به میزان ۲۶٪ بوده است که نشان می‌دهد نرخ افزایش شکل‌پذیری ستون‌های با مقاومت بتن متوسط با افزایش درصد فولاد مقطع بیشتر شده است.

۳. ظرفیت محوری و سختی ستون‌های مرکب با افزایش نسبت لاغری کاهش می‌یابد؛ یا به عبارت دیگر، هر چه ستون لاغرتر باشد، تغییر مکان محوری با یک کاهش در بار محوری افزایش می‌یابد، به طوری که وقتی نسبت لاغری از ۶



شکل ۱۷. تأثیر فاصله‌ی بین خاموت‌ها بر منحنی نیرو - تغییر مکان محوری.

شکل‌پذیری ستون SHH ۱۳ در حد ۴۱٪ بوده است. مطابق با جدول ۱۳ پژوهیج است که استفاده از فولاد با مقاومت بسیار بالا موجب افزایش ۴۰٪ در مقاومت ستون SHH ۱۳ با فاصله‌ی خاموت ۲۵۰ میلی‌متر در مقایسه با ستون SH ۱۳ فاصله‌ی خاموت ۲۵۰ میلی‌متر شده است. با وجود این، وقتی فاصله‌ی خاموت‌ها به میزان ۵۰٪ در ستون SHH ۱۳ کاهش داده شود، شکل‌پذیری دوباره به دست می‌آید.

۷. ظرفیت باربری ستون با کاهش نسبت فاصله‌ی آرماتورهای عرضی به صورت جزئی افزایش می‌یابد، به طوری که با کاهش فاصله‌ی آرماتورهای عرضی از  $0/4$  به  $0/2$ ، ظرفیت باربری به میزان  $2\%$  و با کاهش این نسبت به اندازه‌ی  $1/1$ ، ظرفیت باربری به میزان  $4\%$  افزایش یافته است، که این افزایش درصد ظرفیت باربری ستون با افزایش مقاومت فشاری بتن تغییر چندانی نکرده است.
۸. در صورت استفاده از فولاد پر مقاومت با تنش تسلیم  $913\text{MPa}$ ، تغییر فاصله‌ی خاموت از  $250\text{ mm}$  به  $125\text{ mm}$ ، باعث افزایش شکل‌پذیری ستون به میزان  $41\%$  شده است.
۹. افزایش تنش تسلیم فولاد از  $350\text{ MPa}$  به  $913\text{ MPa}$  سبب افزایش مقاومت ستون به میزان  $40\%$  شده است، ولی سبب خرابی ستون در وضعیت تُرد و شکننده شده است که با کاهش فاصله‌ی خاموت به میزان  $50\%$ ، شکل‌پذیری دوباره به دست آمده است.
۱۰. ظرفیت باربری ستون مركب با افزایش نسبت برونو محوری به شدت کاهش می‌یابد، به طوری که با افزایش نسبت برونو محوری به مقدار  $1/0$  به میزان  $27\%$ ، به مقدار  $1/3$  به میزان  $54\%$  و به مقدار  $4/0$  به میزان  $61\%$  ظرفیت باربری کاهش یافته است.
۱۱. نیروی محوری و سختی ستون مركب به طور چشمگیری متاثر از مقاومت بتن است، به طوری که ظرفیت بار محوری نهایی ستون با افزایش مقاومت فشاری بتن از  $30\text{ MPa}$  به  $60\text{ MPa}$ ، به مقدار  $42\%$  و با افزایش مقاومت فشاری بتن به  $120\text{ MPa}$ ، به میزان  $56\%$  افزایش یافته است، که این مقادیر با افزایش نسبت برونو محوری به صورت جزئی کاهش یافته‌اند. به همین ترتیب، مقادیر لمنگرخشمی متاظر با برآینده شدن افزایش مقاومت فشاری به میزان  $44\%$  و  $61\%$  افزایش یافته‌اند.
۱۲. شاخص شکل‌پذیری با کاهش فاصله بین میلگردهای عرضی افزایش می‌یابد، به طوری که وقتی نسبت فاصله‌ی آرماتورهای عرضی از  $1/1$  به  $0/2$  افزایش یافته است، شاخص شکل‌پذیری  $11\%$  و با افزایش فاصله‌ی آرماتورهای عرضی به  $4/0$ ، شاخص شکل‌پذیری  $22\%$  کاهش یافته است.

## تقدیر و تشکر

پژوهش حاضر در نوشتار حاضر، با شماره‌ی گرنت BNUT<sup>۹۲۵۹۴۰۰۰۱</sup> در دانشگاه صنعتی نوشیروانی با بل انجام شده است، که بدین وسیله از حمایت انجام شده تقدیر و تشکر به عمل می‌آید.

## پانوشت‌ها

1. steel reinforced concrete (SRC)
2. Abaqus
3. Mander
4. tie
5. ductility

## منابع (References)

1. Chen, C.C. and Lin, N.J. "Analytical model for predicting axial capacity and behavior of concrete encased steel composite stub columns", *Journal of Constructional Steel Research*, **62**(5), pp. 424-433 (2005).
2. Mander, J.B., Priestley, M.J.N., Park, R. and et al. "Theoretical stress-strain model for confined concrete", *J. Struct. Eng ASCE*, **114**(8), pp. 1804-1826 (1988).
3. Xuhong, Zh. and Jiepeng, L. "Seismic behavior and strength of tubed steel reinforced concrete (SRC) short
- columns", *Journal of Constructional Steel Research*, **66**(7), pp. 885-896 (2010).
4. Soliman, K.Z., Arafa, A.I. and Elrakib, T.M. "Review of design codes of concrete encased steel short columns under axial compression", *HBRC Journal*, **9**(2), pp. 134-143 (2013).
5. An, Y.-F., Han, L.-H. and Roeder, Ch.W. "Flexural performance of concrete-encased concrete-filled steel tubes", *Magazine of Concrete Research*, **66**(5), pp. 249-267 (2014).
6. Han, L.-H., An, Y.-F., Roeder, Ch. and et al. "Performance of concrete-encased CFST box members under bending", *Journal of Constructional Steel Research*, **106**, pp. 138-153 (2015).
7. An, Y.-F., Han, L.-H. and Roeder, Ch. "Performance of concrete encased CFST box stub columns under axial compression", *Structures*, **3**, pp. 211-226 (2015).
8. ACI 318-11, "Building code requirements for structural concrete and commentary", Detroit (USA): American Concrete Institute (2011).

- مجله علمی پژوهشی  
آنالیز و طراحی سازه های فضایی  
دوره ۱۱، شماره ۲، سال ۹۴
- ۲/۲
9. Barr, B. and Lee, M.K. "Modelling the strain-softening behaviour of plain concrete using a double-exponential model", *Magazine of Concrete Research*, **55**(4), pp. 343-353 (2003).
  10. Shen, J.M., Wang, C.Z. and Jiang, J.J. "Finite element method of reinforced concrete and limited analysis of plates and shells", Tsinghua University Press, Beijing, China, (in Chinese) (1993).
  11. Jung, I.-K., Park, S.-E. and Kim, D.-H. "Seismic Performance Evaluation of SRC Composite Column using Direct Displacement Based Design Method", *Journal of the Korean Association for Spatial Structures*, **12**(3), pp. 63-70 (2012).
  12. AISC, "Specification for Structural Steel Buildings", American Institute of Steel Construction, ANSI/AISC 360-16, Chicago, USA (2016).